

บทที่ 4 ผลการทดลอง

4.1 ผลการทดลองที่ห้องปฏิบัติการ

4.1.1 ลักษณะอินกอตของเงินสเตอร์ลิง

ในการทดลองได้ทดลองและหล่ออินกอตในบรรยากาศปกติ ทำการทดลองที่ห้องปฏิบัติการมหาวิทยาลัยเทคโนโลยีพระจอมเกล้าธนบุรี ของโลหะเงินสเตอร์ลิง 8 ส่วนผสม ซึ่งมีส่วนผสม A เป็นส่วนผสมของเงินสเตอร์ลิงเริ่มต้น ส่วนผสม B-H เป็นส่วนผสมของเงินสเตอร์ลิงที่มีการเติมโลหะผสมเข้าไปเพิ่มที่ปริมาณทองแดง ดังนี้

ส่วนผสม A เป็น Ag-6.4Cu-0.4Sn-0.2In

ส่วนผสม B เป็น Ag-5.65Cu-0.4Sn-0.2In-0.75(Al-1.05Mg-0.64Si-0.25Ti)

ส่วนผสม C เป็น Ag-5.65Cu-0.4Sn-0.2In-0.75(Al-5.99Mg-0.60Si-0.25Ti)

ส่วนผสม D เป็น Ag-5.65Cu-0.4Sn-0.2In-0.75(Al-0.88Mg-0.54Si-20Y₂O₃.ZrO₂)

ส่วนผสม E เป็น Ag-5.65Cu-0.4Sn-0.2In-0.75(Cu-29.70Zn-0.42Ti)

ส่วนผสม F เป็น Ag-6.4(Cu-0.16Zr)-0.4Sn-0.2In

ส่วนผสม G เป็น Ag-6.4(Cu-5Ti)-0.4Sn-0.2In

ส่วนผสม H เป็น Ag-6.4(Cu-1.96B)-0.4Sn-0.2In

ลักษณะอินกอตที่ได้จากการหล่อเงินสเตอร์ลิงส่วนผสม A-H แสดงในตารางที่ 4.1 อินกอตของเงินสเตอร์ลิงส่วนผสม A มีลักษณะผิวหยาบ ขรุขระ ผิวมีสีเหลืองปนสีดำ ลักษณะแบบนี้พนกันอินกอตของเงินสเตอร์ลิงที่มีส่วนผสม E, F, G และ H การที่ผิวชิ้นงานมีสีเหลืองปนดำ เกิดขึ้นจากการหล่อในบรรยากาศปกติ ทำให้อากาศที่อยู่โดยรอบสัมผัสกับน้ำโลหะ ได้โดยตรง จึงเกิดเป็นสารประกอบของธาตุบางชนิดขึ้น ในที่นี้ไม่ได้เคราะห์ว่าเป็นสารประกอบอะไร สันนิษฐานว่าเป็นสารประกอบออกไซด์ ในทางปฏิบัติ วิธีกำจัดผิวสีเหลือง สีดำเหล่านี้ ทำได้โดยการนำชิ้นงานไปแช่ในกรด (ทางโรงงานที่ร่วมโครงการนี้ใช้กรดไฮโดรฟลูออริก (HF) ความเข้มข้นร้อยละ 30 แห่งเป็นเวลา 20 นาที)

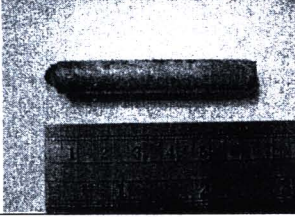
ลักษณะผิวของอินกอตเงินสเตอร์ลิงส่วนผสม B, C และ D มีผิวเรียบสีขาว มันวาว มีคราบสีเหลืองอ่อนเกิดขึ้นที่ผิวเล็กน้อย สามารถทำความสะอาดผิวได้โดยล้างด้วยกรด เนื่องจากในส่วนผสมเหล่านี้ มีการเติมอัลลอยที่เป็นโลหะอะลูминีเนียมผสมเข้าไป อะลูминีเนียมเป็นธาตุที่ว่องไวในการทำปฏิกิริยา กับ

ออกซิเจนจึงเกิดเป็นอะลูมิเนียมออกไซต์คุณอยู่ที่ผิวน้ำ ป้องกันอากาศสัมผัสน้ำโลหะโดยตรง ทำให้ผิวงานมีสีขาว มีคราบสีเหลืองน้อบลง

ตารางที่ 4.1 ลักษณะและรูปของอินกอตเงินสเตอร์ลิงส่วนผสม A- H

ส่วนผสม	รูปอินกอต	ลักษณะ
A		<ul style="list-style-type: none"> - ผิวหยาบ ขุ่นระ - มีสีเหลืองปนดำที่ผิว
B		<ul style="list-style-type: none"> - ผิวเรียบสีขาว เงาวาว - มีคราบสีเหลืองที่ผิวเล็กน้อย
C		<ul style="list-style-type: none"> - ผิวเรียบสีขาว เงาวาว - มีคราบสีเหลืองที่ผิวเล็กน้อย
D		<ul style="list-style-type: none"> - มีผิวเรียบสีขาว เงาวาว - มีคราบสีเหลืองที่ผิวเล็กน้อย
E		<ul style="list-style-type: none"> - ผิวมีสีเหลืองปนดำ - สีผิวไม่สม่ำเสมอ - ผิวขุ่นระ หยาบ
F		<ul style="list-style-type: none"> - ผิวมีสีเหลืองปนดำบางส่วน - สีผิวไม่สม่ำเสมอ - ผิวหยาบเล็กน้อย

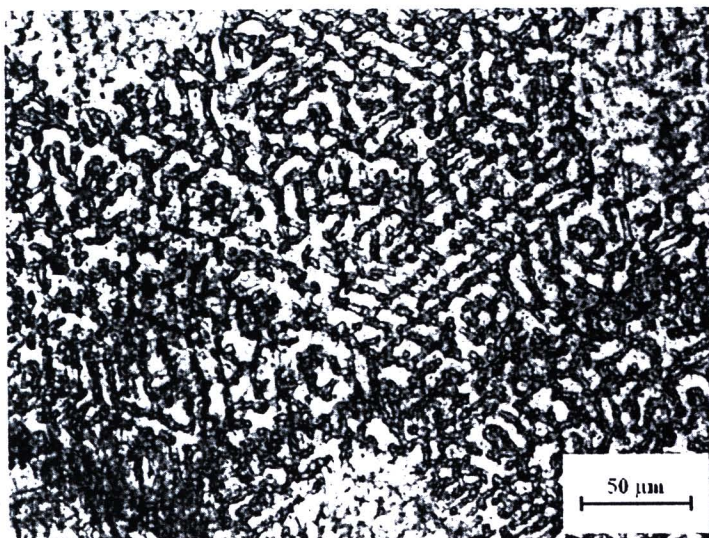
ตารางที่ 4.1 ลักษณะและรูปของอินกอตเงินสเตอร์ลิงส่วนผสม A- H (ต่อ)

ส่วนผสม	รูปอินกอต	ลักษณะ
G		<ul style="list-style-type: none"> - ผิวมีสีเหลืองปนดำ - สีคราฟ้าม่วง - ผิวหยาบ ขรุขระมาก
H		<ul style="list-style-type: none"> - ผิวมีคราบเหลืองปนดำ - ผิวหยาบเล็กน้อย

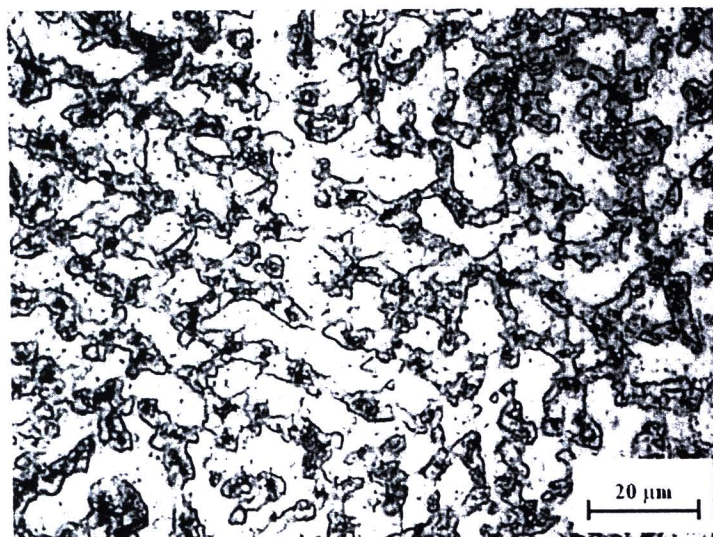
เป็นที่น่าสังเกตว่า ในระหว่างการหลอม ลักษณะของน้ำโลหะของเงินสเตอร์ลิงส่วนผสม A, E, และ H มีลักษณะใส ไม่หนืด น้ำโลหะไหลด้วย เทหหล่อในแม่พิมพ์ได้ง่าย เกิดตะกรัน (Slag) ปริมาณน้อย ทำให้สูญเสียน้ำหนักของเงินสเตอร์ลิงเล็กน้อย สำหรับเงินสเตอร์ลิงที่มีส่วนผสม B, C, D, F และ G พบว่า ขณะที่หลอมมีตะกรันปกคลุมที่ผิวน้ำโลหะ น้ำโลหะใส มีการไหลด้วย หลังการเทหหล่อในแม่พิมพ์แล้วเหลือตะกรันจำนวนมากเฉลี่ยประมาณร้อยละ 13.08 ซึ่งทำให้สูญเสียน้ำหนักของอินกอต ไป (น้ำหนักของวัตถุคงก่อนและหลังหล่อได้แสดงในภาคผนวก ก) และอาจมีการสูญเสียธาตุอื่นที่ เติมเพื่อช่วยปรับปรุงสมบัติต่างๆ ของเงินสเตอร์ลิง ในการวิเคราะห์ส่วนผสมทางเคมีมีค่าใช้จ่ายที่สูง จึงไม่ได้วิเคราะห์ทุกส่วนผสม อย่างไรก็ตาม ส่วนผสมที่ถูกเลือกนำไปใช้ผลิตจริงในภาคอุตสาหกรรมจะมีการตรวจสอบส่วนผสมทางเคมีอีกด้วย

4.1.2 ผลการศึกษาโครงสร้างและความแข็งจุลภาคของอินกอต

โครงสร้างจุลภาคของเงินสเตอร์ลิงส่วนผสม A ที่มีส่วนผสมของ Ag-6.4Cu-0.4Sn-0.2In จากภาพถ่ายด้วยกล้องจุลทรรศน์แสง ใช้เลนส์วัตถุกำลังขยาย 20 และ 50 เท่า แสดงในรูปที่ 4.1 (ก)-(ข) และจากภาพถ่ายด้วยกล้องจุลทรรศน์อิเล็กตรอนแบบส่องกระดาดด้วยกำลังขยาย 2,500 และ 5,000 เท่า แสดงในรูปที่ 4.2 (ก)-(ข) ตามลำดับ พบว่า โครงสร้างเป็นลักษณะเด่นไดรต์ (Dendrite) บริเวณโครงสร้างพื้น (Matrix) เป็นเฟสที่มีปริมาณเงินเป็นส่วนผสมหลัก (Ag-rich Phase) โดยทั่วไปเรียกว่าเฟสแอลฟ่า ส่วนบริเวณพื้นที่สีดำเป็นเฟสบีตา ซึ่งมีปริมาณทองแดงเป็นส่วนผสมหลัก (Cu-rich Phase)

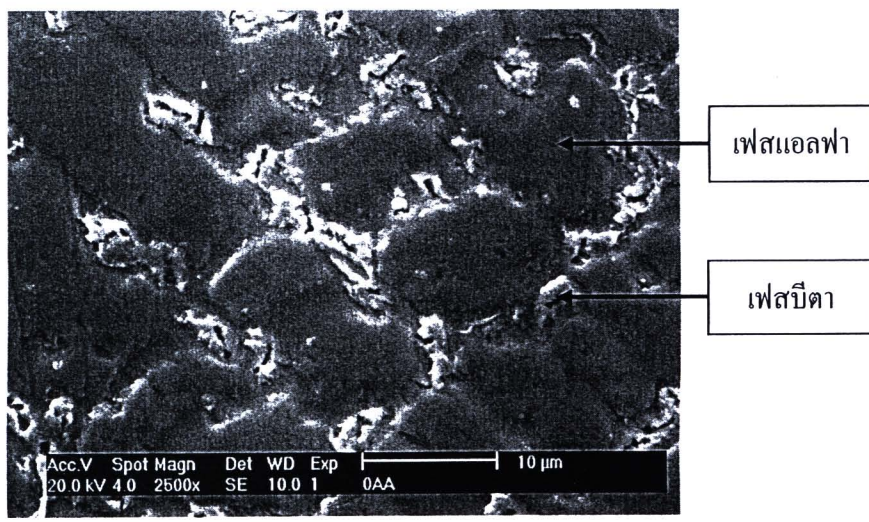


(ก)

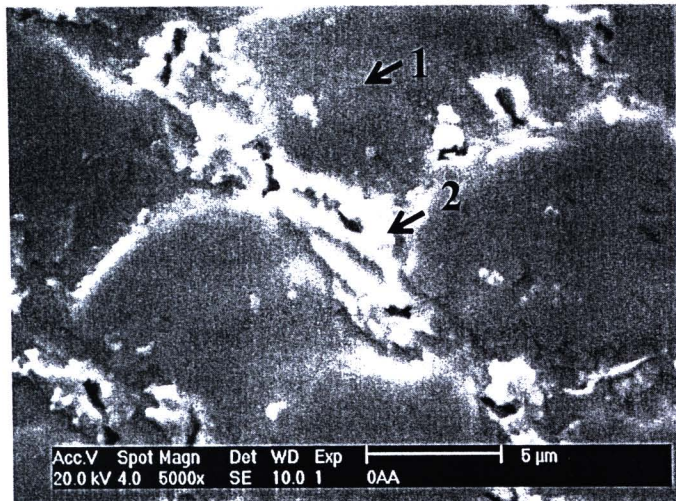


(ข)

รูปที่ 4.1 ภาพถ่ายด้วยกล้องจุลทรรศน์แสงของเงินสเตอโรลิงส่วนผสม A (ก) กำลังขยาย 20 เท่า
(ข) กำลังขยาย 50 เท่า



(ก)



(ข)

รูปที่ 4.2 ภาพถ่ายด้วยกล้องจุลทรรศน์อิเล็กตรอนแบบส่องกราดของเงินสเตอร์ลิงส่วนผสม A

(ก) กำลังขยาย 2,500 เท่า (ข) กำลังขยาย 5,000 เท่า

จากการวิเคราะห์ส่วนผสมทางเคมีด้วยเทคนิค EDS แสดงตำแหน่งที่วิเคราะห์ในรูปที่ 4.2 (ข) ตำแหน่งที่ 1 เป็นบริเวณโครงสร้างพื้น และตำแหน่งที่ 2 บริเวณที่เป็นเฟสบีต้า ผลการวิเคราะห์แสดงในตารางที่ 4.2 พบว่าตำแหน่งที่ 1 เป็นเฟสแอลฟามีปริมาณเงินร้อยละ 96.8 โดยน้ำหนัก และมีปริมาณของทองแดง ร้อยละ 3.3 โดยน้ำหนัก ส่วนบริเวณตำแหน่งที่ 2 เป็นเฟสบีต้ามีปริมาณของเงินร้อยละ 91.8 โดยน้ำหนัก และมีปริมาณของทองแดงร้อยละ 8.2 โดยน้ำหนัก เป็นที่น่าสังเกตว่าเฟสบีต้ามีปริมาณทองแดงต่ำกว่าปริมาณของเงิน ตามหลักการเฟสบีต้าที่มีทองแดงเป็นส่วนผสมหลัก แต่

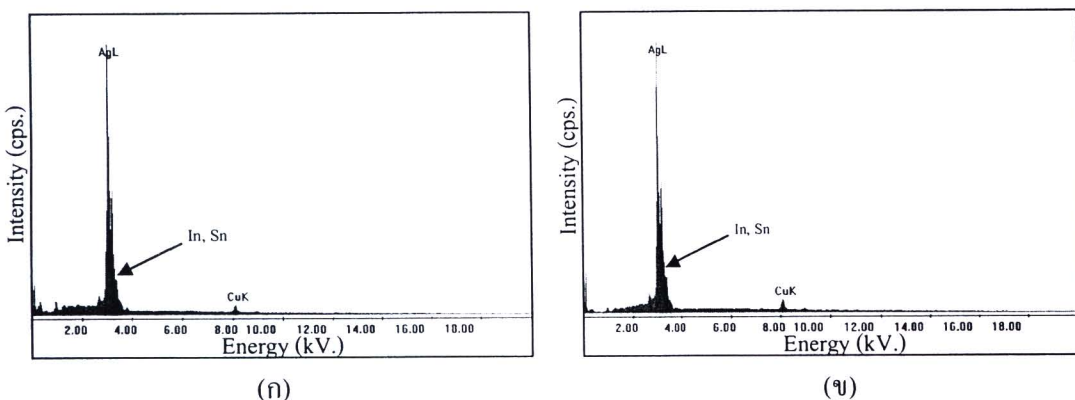
ผลการวิเคราะห์ที่ได้นี้ให้ผลที่ไม่สอดคล้องกับหลักการ ทั้งนี้เนื่องจากเฟสบีตามีขนาดเล็ก ผลการวิเคราะห์จึงมีความคาดเคลื่อนเนื่องจากพื้นที่ในการวิเคราะห์มีบริเวณของโครงสร้างพื้นรวมอยู่ด้วย

ตารางที่ 4.2 ผลการวิเคราะห์ส่วนผสมทางเคมีของชิ้นงานเงินสเตอร์ลิงส่วนผสม A ด้วยเทคนิค EDS

บริเวณที่วิเคราะห์	ปริมาณธาตุ (ร้อยละโดยน้ำหนัก)			
	Ag	Cu	Sn	In
ตำแหน่งที่ 1	96.8	3.3	N/A	N/A
ตำแหน่งที่ 2	91.8	8.2	N/A	N/A

หมายเหตุ N/A หมายถึง ตรวจสอบไม่ได้

ผลการวิเคราะห์ธาตุดีบุก และอินเดียม ไม่สามารถตรวจสอบได้ (Non Available) เนื่องจากปริมาณที่ผสมนี้ค่อนข้าง และสเปกตรัมของดีบุก และอินเดียมอยู่ใกล้กับเงินมาก จึงถูกพิคของเงินซ่อนทับทำให้ไม่เห็นพิคของดีบุกและอินเดียม ดังแสดงในรูปที่ 4.3 จากข้อมูลในเฟสไดอะแกรมของเงินกับดีบุก และเงินกับอินเดียม พบว่าดีบุกและอินเดียมปริมาณน้อยๆ สามารถละลายได้ในเงิน เกิดเป็นสารละลายของของแข็ง [16]



รูปที่ 4.3 สเปกตรัมของเงินสเตอร์ลิงส่วนผสม A (ก) ตำแหน่งที่ 1 และ (ข) ตำแหน่งที่ 2

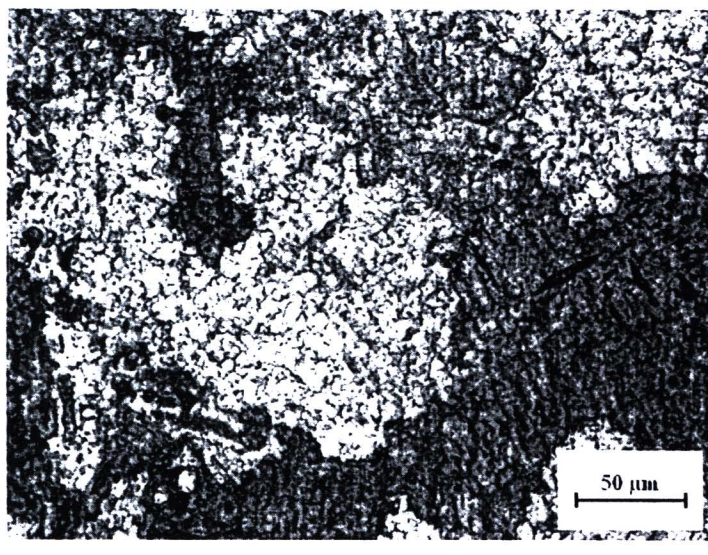
ความแข็งจุลภาคของเงินสเตอร์ลิงส่วนผสม A มีค่าเฉลี่ย 73.0 วิกเกอร์ เมื่อเปรียบเทียบกับงานวิจัยที่ผ่านมา พบว่ามีค่าเท่ากับเงินสเตอร์ลิง 925 ที่มีส่วนผสม Ag-7.5Cu ซึ่งไม่มีการเติมธาตุผสมอื่นนอกจากทองแดง [54] และจากการวิจัยของเจยฎา จอกแก้ว [31] พบว่า ความแข็งของเงินสเตอร์ลิงที่มีส่วนผสม Ag-7.0Cu-0.5Si มีค่าความแข็งลดลงจาก 80 เป็น 62 วิกเกอร์ เมื่อเติมอินเดียมปริมาณร้อยละ

0-2.13 โดยน้ำหนัก ลงไปแทนที่ปริมาณทองแดง โดยให้เหตุผลว่าทองแดงเป็นธาตุที่ช่วยเพิ่มความแข็งให้เงิน แต่อินเดียมที่เติมลงไปเกิดการรวมตัวกับทองแดงเป็นเฟสบีตามากขึ้น ทองแดงที่ละลายในโครงสร้างพื้นจึงมีน้อยลง เป็นสาเหตุให้ความแข็งลดลงตามปริมาณอินเดียมที่เพิ่มขึ้น ซึ่งมีความสอดคล้องกับเงินสเตอร์ลิงส่วนผสม A ที่มีการเติมอินเดียมลงไป

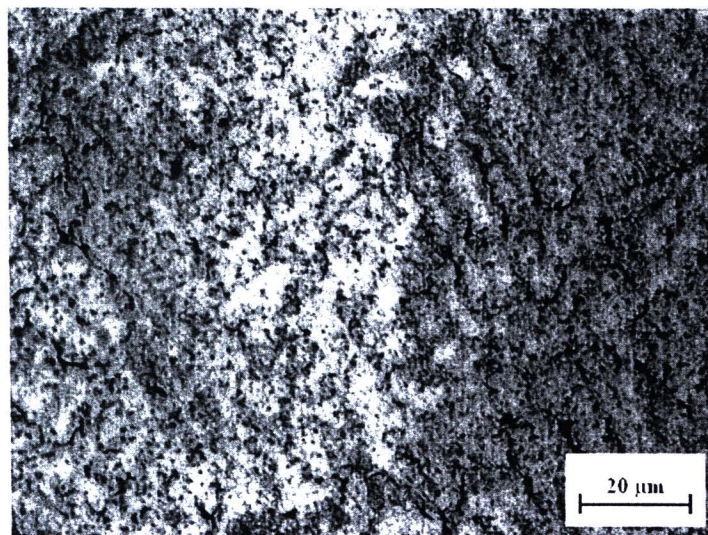
โครงสร้างจุลภาคของชิ้นงานเงินสเตอร์ลิงส่วนผสม B ที่มีส่วนผสมเป็น Ag-5.65Cu-0.4Sn-0.2In-0.75(Al-1.05Mg-0.64Si-0.25Ti) จากภาพถ่ายด้วยกล้องจุลทรรศน์แสง ไชเลนส์วัตต์ถูกกำลังข่าย 20 และ 50 เท่า แสดงดังรูปที่ 4.4 (ก)-(ข) และจากภาพถ่ายด้วยกล้องจุลทรรศน์อิเล็กตรอนแบบส่องการดูดซึ่งกำลังข่าย 1,500 และ 3,500 เท่า แสดงในรูปที่ 4.5 (ก)-(ข) ตามลำดับ พบว่า โครงสร้างมีลักษณะเป็นเด่นไดรต์ ประกอบด้วยพื้นที่สีขาวเป็นเฟสแอลฟ่าที่มีเงินเป็นส่วนผสมหลัก และพื้นที่สีดำเป็นเฟสบีตาที่มีทองแดงเป็นส่วนผสมหลักกระจายอยู่ในโครงสร้าง

ผลจากการวิเคราะห์ส่วนผสมทางเคมีด้วยเทคนิค EDS แสดงตำแหน่งที่วิเคราะห์ในรูปที่ 4.5 (ข) ตำแหน่งที่ 1 เป็นบริเวณโครงสร้างพื้น และตำแหน่งที่ 2 และ 3 เป็นเฟสบีตาอยู่ระหว่างช่องว่างระหว่างเด่นไดรต์ ผลการวิเคราะห์แสดงในตารางที่ 4.3 มีหน่วยเป็นร้อยละ โดยน้ำหนัก พบว่า ตำแหน่งที่ 1 เป็นเฟสแอลฟามีปริมาณเงินร้อยละ 94.0 ทองแดงร้อยละ 5.0 อะลูมิเนียมร้อยละ 0.4 แมกนีเซียมร้อยละ 0.4 และซิลิคอนร้อยละ 0.2 ส่วนบริเวณตำแหน่งที่ 2 เป็นเฟสบีตามีปริมาณของเงินร้อยละ 80.2 ทองแดงร้อยละ 18.8 และอะลูมิเนียมร้อยละ 1.0 และบริเวณตำแหน่งที่ 3 มีปริมาณเงินร้อยละ 94.8 มีทองแดงร้อยละ 4.5 มีอะลูมิเนียมร้อยละ 0.4 และมีปริมาณแมกนีเซียมร้อยละ 0.3

ทำนองเดียวกับส่วนผสม A เฟสบีตาของส่วนผสม B มีปริมาณทองแดงต่ำกว่าปริมาณของเงิน ทั้งนี้เนื่องจากเฟสบีตาทั้งสองบริเวณมีขนาดเล็ก ผลการวิเคราะห์จึงมีบริเวณโครงสร้างพื้นรวมอยู่ด้วยอย่างไรก็ตามลักษณะโครงสร้างจุลภาคมีความสอดคล้องกับงานวิจัยที่ผ่านมาของปวิศร์และคณะ [55] พบว่าเงินสเตอร์ลิงที่เติมอะลูมิเนียมผสม มีโครงสร้างเฟสบีตาอยู่บริเวณช่องว่างระหว่างเด่นไดรต์ (Interdendritic Dendrite) และผลการวิเคราะห์ธาตุดีบุก อินเดียม และไทเทเนียมไม่พบในทุกบริเวณที่ทำการวิเคราะห์เช่นกัน

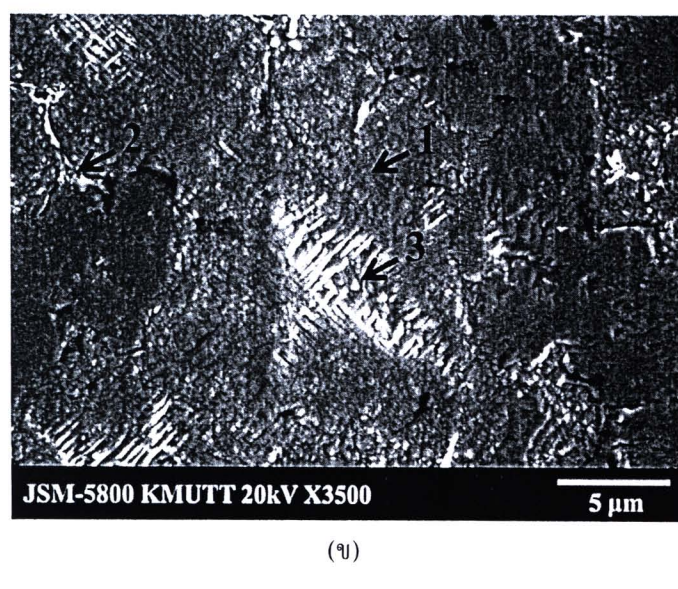
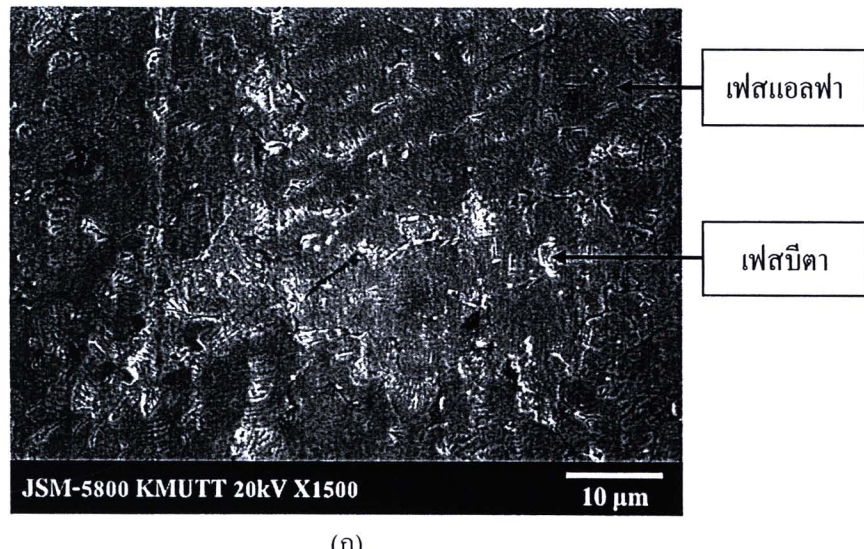


(n)



(x)

รูปที่ 4.4 ภาพถ่ายด้วยกล้องจุลทรรศน์แสงของเงินสเตอร์ลิงส่วนผสม B (ก) กำลังขยาย 20 เท่า
(ข) กำลังขยาย 50 เท่า



รูปที่ 4.5 ภาพถ่ายด้วยกล้องจุลทรรศน์อิเล็กตรอนแบบส่องการดูของเจ็นสเตอร์ลิงส่วนผสม B

(ก) กำลังขยาย 1,500 เท่า (ข) กำลังขยาย 3,500 เท่า

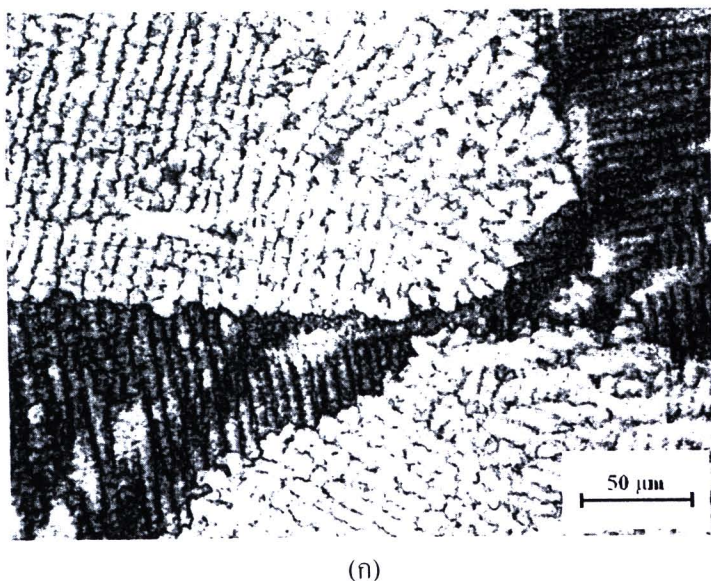
ตารางที่ 4.3 ผลการวิเคราะห์ส่วนผสมทางเคมีของชิ้นงานเงินสเตอร์ลิงส่วนผสม B ด้วยเทคนิค EDS

บริเวณที่วิเคราะห์	ปริมาณธาตุ (ร้อยละ โดยน้ำหนัก)							
	Ag	Cu	Sn	In	Al	Mg	Si	Ti
ตำแหน่งที่ 1	94.0	5.0	N/A	N/A	0.4	0.4	0.2	N/A
ตำแหน่งที่ 2	80.2	18.8	N/A	N/A	1.0	N/A	N/A	N/A
ตำแหน่งที่ 3	94.8	4.5	N/A	N/A	0.4	0.3	N/A	N/A

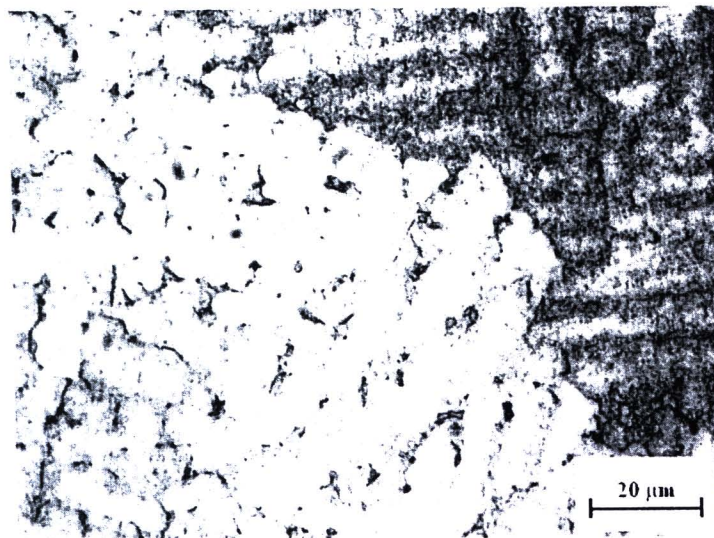
หมายเหตุ N/A หมายถึง ตรวจสอบไม่ได้

ความแข็งจุลภาคของเงินสเตอร์ลิงส่วนผสม B มีค่าเฉลี่ย 91.0 วิกเกอร์ เมื่อเปรียบเทียบกับส่วนผสม แรกพบว่ามีค่าความแข็งสูงกว่าเงินสเตอร์ลิงส่วนผสม A ซึ่งมีค่า 73.0 วิกเกอร์ จากการพิจารณาพบว่า การเติมโลหะผสมอะลูมิเนียม แมgnีเซียม ชิลิคอน และไทเทเนียม ในปริมาณน้อยๆ ทำให้โครงสร้าง และความแข็งจุลภาคมีการเปลี่ยนแปลง สอดคล้องกับงานวิจัยที่ผ่านมา ซึ่งพบว่า การเติมอะลูมิเนียม ในโลหะเงินสเตอร์ลิง Ag-6.1Cu-0.9Al มีค่าความแข็งเป็น 88.0 วิกเกอร์ [56] ส่วนการเติมแมgnีเซียม ในเงินสเตอร์ลิง ที่ประกอบด้วยเงินร้อยละ 92.5 ทองแดงร้อยละ 2.5-7.4 และแมgnีเซียมร้อยละ 0.1-5 ภายหลังจากผ่านการบ่มแข็ง สามารถเพิ่มความแข็งเป็น 152 วิกเกอร์ [6] และการเติมชิลิคอนในเงินสเตอร์ลิง 925 บริมาณร้อยละ 0-0.5 สามารถเพิ่มความแข็งได้ มีค่า 77.9-91.8 วิกเกอร์ [12]

สำหรับโครงสร้างของเงินสเตอร์ลิงส่วนผสม C ที่มีส่วนผสมเป็น Ag-5.65Cu-0.4Sn-0.2In-0.75(Al-5.99Mg-0.60Si-0.25Ti) จากภาพถ่ายด้วยกล้องจุลทรรศน์แสง ใช้เลนส์วัตถุกำลังขยาย 20 และ 50 เท่า แสดงในรูปที่ 4.6 (ก)-(ข) และจากภาพถ่ายด้วยกล้องจุลทรรศน์อิเล็กตรอนด้วยกำลังขยาย 1,500 และ 3,500 เท่า แสดงดังรูปที่ 4.7 (ก)-(ข) ตามลำดับ พบว่า โครงสร้างมีลักษณะเป็นเด่นไครต์ บริเวณโครงสร้างพื้นเป็นเฟสแอลฟ่าที่มีเงินเป็นส่วนผสมหลัก ส่วนบริเวณพื้นที่สีดำเป็นเฟสนีตา ซึ่งมีปริมาณของทองแดงเป็นส่วนผสมหลัก

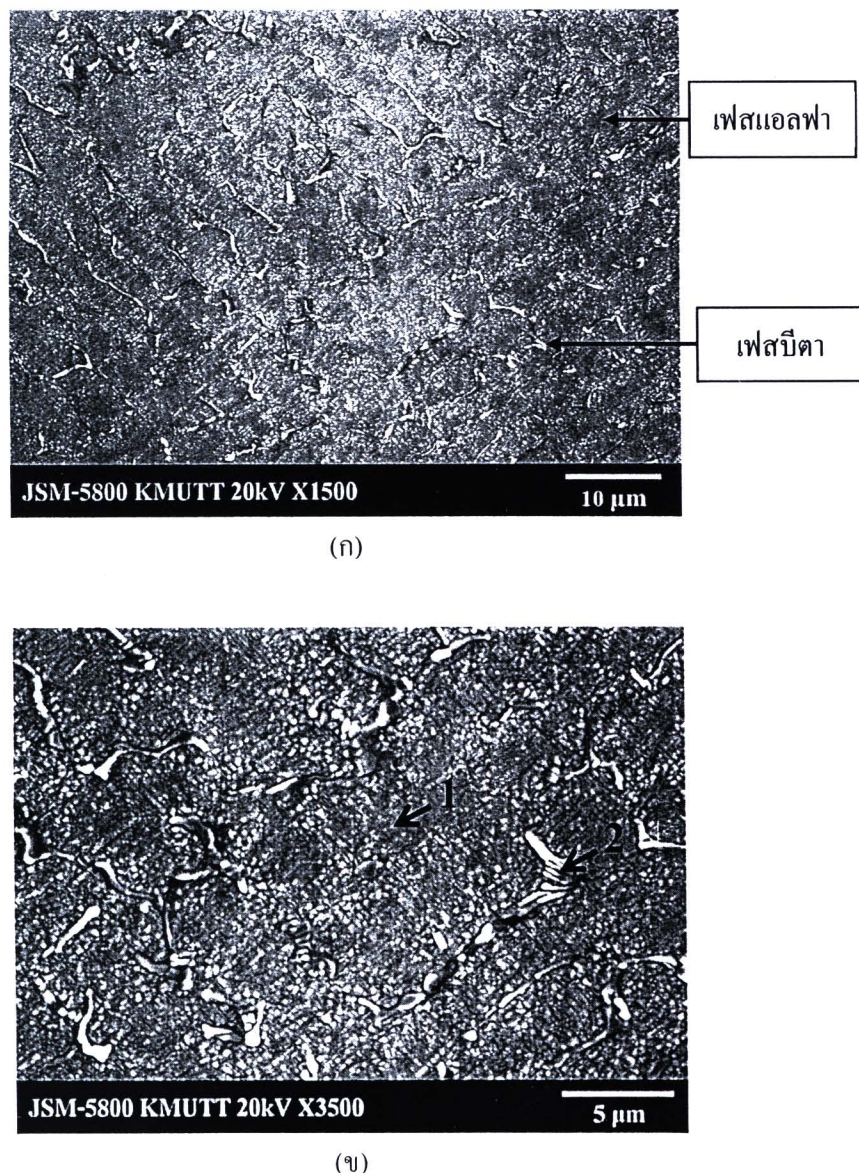


(ก)



(ก)

รูปที่ 4.6 ภาพถ่ายด้วยกล้องจุลทรรศน์แสงของเงินสเตอร์ลิงส่วนผสม C (ก) กำลังขยาย 20 เท่า
(ข) กำลังขยาย 50 เท่า



รูปที่ 4.7 ภาพถ่ายด้วยกล้องจุลทรรศน์อิเล็กตรอนแบบส่องกราดของเงินสเตอร์ลิงส่วนผสม C

(ก) กำลังขยาย 1,500 เท่า (ข) กำลังขยาย 3,500 เท่า

จากผลการวิเคราะห์ส่วนผสมทางเคมีด้วยเทคนิค EDS แสดงตำแหน่งที่วิเคราะห์ในรูปที่ 4.7 (ข) ตำแหน่งที่ 1 เป็นบริเวณโครงสร้างพื้น และตำแหน่งที่ 2 บริเวณที่เป็นเฟสบีต้า ผลการวิเคราะห์แสดงในตารางที่ 4.4 มีหน่วยเป็นร้อยละโดยน้ำหนัก พบร่วมตำแหน่งที่ 1 เป็นเฟสแอลฟามีปริมาณเงินร้อยละ 94.0 มีทองแดงร้อยละ 5.0 มีอะลูมิเนียม แมกนีเซียม และซิลิโคนปริมาณเล็กน้อย ส่วนบริเวณตำแหน่งที่ 2 เป็นเฟสบีต้ามีปริมาณของเงินร้อยละ 88.9 มีทองแดงร้อยละ 9.3 มีอะลูมิเนียมร้อยละ 1.0 มีปริมาณแมกนีเซียมและซิลิโคนเล็กน้อย เนื่องจากเฟสบีต้ามีขนาดเล็ก ทำให้ผลการวิเคราะห์มี

บริเวณของโครงสร้างพื้นรวมอยู่ด้วย เฟสบีต้า ซึ่งมีปริมาณของทองแดงต่ำกว่าปริมาณของเงิน ส่วนผลการวิเคราะห์ชาตุคิ่นูก อินเดียม และ ไทเทเนียม ไม่สามารถตรวจสอบได้ เช่นเดียวกับส่วนผสม B ความแข็งจุดภาคของเงินสเตอร์ลิงส่วนผสม C มีค่าความแข็งเฉลี่ย เท่ากับ 89.0 วิกเกอร์ ซึ่งความแข็งที่ได้มีค่าใกล้เคียงกันกับส่วนผสม B

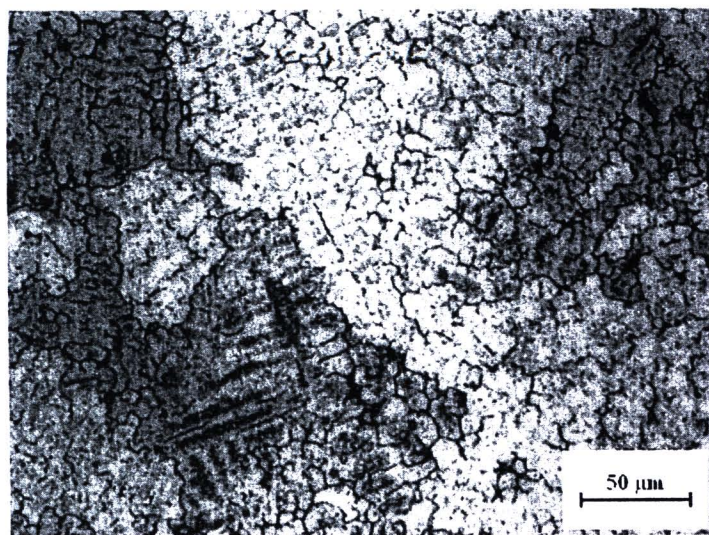
ตารางที่ 4.4 ผลการวิเคราะห์ส่วนผสมทางเคมีของชิ้นงานเงินสเตอร์ลิงส่วนผสม C ด้วยเทคนิค EDS

บริเวณที่วิเคราะห์	ปริมาณธาตุ (ร้อยละ โดยน้ำหนัก)							
	Ag	Cu	Sn	In	Al	Mg	Si	Ti
ตำแหน่งที่ 1	94.0	5.0	N/A	N/A	0.3	0.3	0.4	N/A
ตำแหน่งที่ 2	88.9	9.3	N/A	N/A	1.0	0.3	0.5	N/A

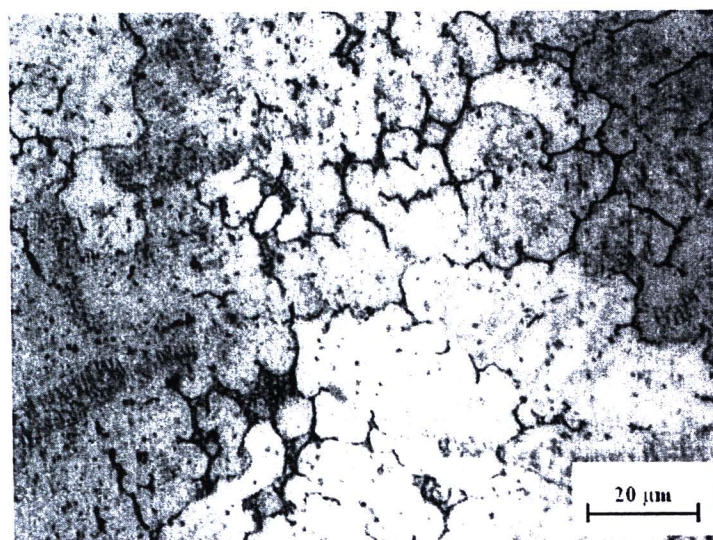
หมายเหตุ N/A หมายถึง ตรวจสอบไม่ได้

โครงสร้างจุดภาคของเงินสเตอร์ลิงส่วนผสม D ที่มีส่วนผสมของ Ag-5.65Cu-0.4Sn-0.2In-0.75(Al-0.88Mg-0.54Si-20Y₂O₃.ZrO₂) จากภาพถ่ายด้วยกล้องจุลทรรศน์แสง ใช้เลนส์วัตถุกำลังขยาย 20 และ 50 เท่า แสดงดังรูปที่ 4.8 (ก)-(ข) และจากภาพถ่ายด้วยกล้องจุลทรรศน์อิเล็กตรอนแบบส่องกระดาษด้วย กำลังขยาย 1,500 และ 3,500 เท่า แสดงในรูปที่ 4.9 (ก)-(ข) มีโครงสร้างเป็นลักษณะเด่นไครต์ ประกอบด้วยเฟสแอลฟាលะบอนไดออกไซด์ ไครต์ และเฟสบีต้าที่กระจายอยู่ในช่องว่างระหว่างเด่นไครต์

จากการวิเคราะห์ส่วนผสมทางเคมีด้วยเทคนิค EDS แสดงตำแหน่งที่วิเคราะห์ในรูปที่ 4.9 (ข) ตำแหน่งที่ 1 และ 2 เป็นบริเวณโครงสร้างพื้น และตำแหน่งที่ 3 บริเวณที่เป็นเฟสบีต้า ผลการวิเคราะห์แสดงในตารางที่ 4.5 พ布ว่าตำแหน่งที่ 1 และตำแหน่งที่ 2 มีปริมาณเงิน ทองแดง อะลูминีียมและแมกนีเซียมใกล้เคียงกัน แต่บริเวณที่ 2 พบรีบุนกปริมาณร้อยละ 0.9 โดยน้ำหนัก ส่วนบริเวณตำแหน่งที่ 3 เป็นเฟสที่มีลักษณะเป็นโครงสร้างยูเทคติก ประกอบด้วยเฟสแอลฟ่าและบีต้าที่มีปริมาณเงินร้อยละ 73.0 โดยน้ำหนัก ทองแดงร้อยละ 24.4 โดยน้ำหนัก อะลูминีียมร้อยละ 2.3 โดยน้ำหนัก และแมกนีเซียมร้อยละ 0.3 โดยน้ำหนัก เนื่องจากโครงสร้างยูเทคติกมีขนาดเล็ก ผลการวิเคราะห์จึงมีบริเวณของโครงสร้างพื้นรวมอยู่ด้วย ส่วนผลการวิเคราะห์ชาตุคิ่นูก อินเดียม ซิลิคอน และสารประกอบอิตเทรียมแซอร์โคเนีย (Y₂O₃.ZrO₂) ไม่สามารถตรวจสอบได้

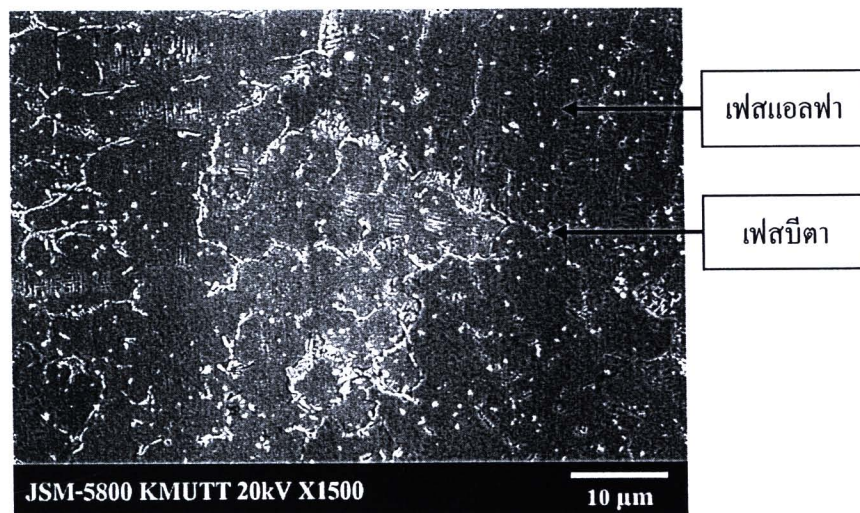


(ก)

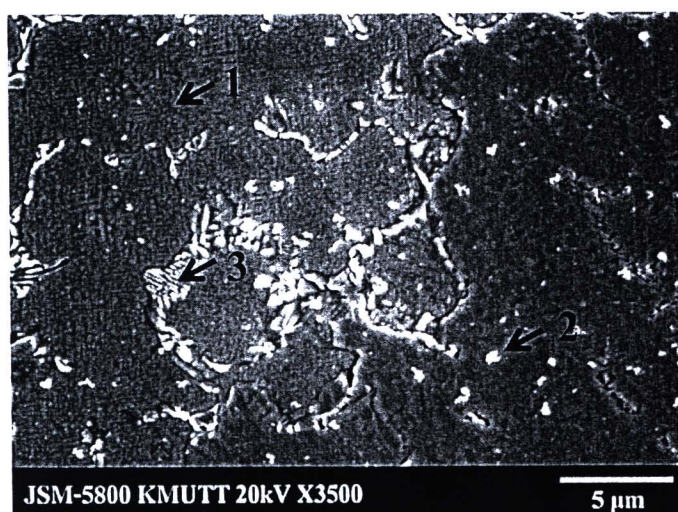


(η)

รูปที่ 4.8 ภาพถ่ายด้วยกล้องจุลทรรศน์แสดงของเงินสเตอร์ลิงส่วนผสม D (ก) กำลังขยาย 20 เท่า
(η) กำลังขยาย 50 เท่า



(ก)



(ข)

รูปที่ 4.9 ภาพถ่ายด้วยกล้องจุลทรรศน์อิเล็กตรอนแบบส่องกราดของเงินสเตอร์ลิงส่วนผสม D

(ก) กำลังขยาย 1,500 เท่า (ข) กำลังขยาย 3,500 เท่า

ตารางที่ 4.5 ผลการวิเคราะห์ส่วนผสมทางเคมีของชิ้นงานเงินสเตอร์ลิงส่วนผสม D ด้วยเทคนิค EDS

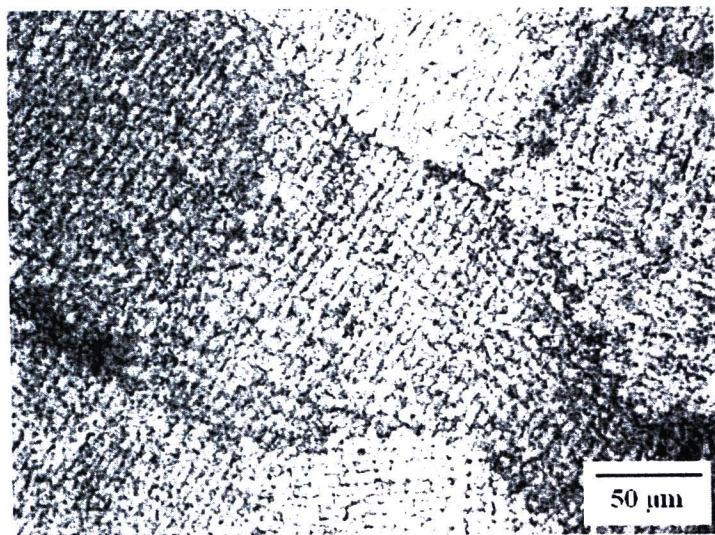
บริเวณที่วิเคราะห์	ปริมาณธาตุ (ร้อยละ โดยน้ำหนัก)							
	Ag	Cu	Sn	In	Al	Mg	Si	YZ
ตำแหน่งที่ 1	95.9	3.3	N/A	N/A	0.4	0.4	N/A	N/A
ตำแหน่งที่ 2	94.3	4.0	0.9	N/A	0.5	0.3	N/A	N/A
ตำแหน่งที่ 3	73.0	24.4	N/A	N/A	2.3	0.3	N/A	N/A

หมายเหตุ N/A หมายถึง ตรวจสอบไม่ได้

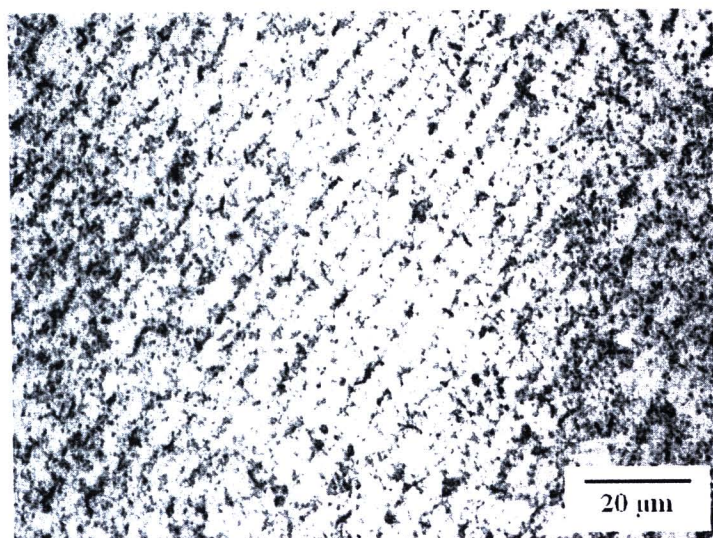
สำหรับความแข็งจุลภาคของเงินสเตอร์ลิงส่วนผสม D มีค่าเฉลี่ย 84.0 วิกเกอร์ เมื่อเปรียบเทียบกับเงินสเตอร์ลิงส่วนผสมอื่น พบว่า เงินสเตอร์ลิงส่วนผสม D มีค่าความแข็งสูงกว่าส่วนผสม A แต่มีค่าความแข็งต่ำกว่าส่วนผสม B และ C แม้ว่าจะมีการเติมอัลลอยที่มีส่วนผสมใกล้เคียงกัน แต่ค่าความแข็งที่ได้กลับมีค่าแตกต่างกัน เนื่องจากโครงสร้างมีความต่างกันอย่างเห็นได้ชัดเจน

โครงสร้างจุลภาคของชิ้นงานเงินสเตอร์ลิงส่วนผสม E ที่มีส่วนผสมเป็น Ag-5.65Cu-0.40Sn-0.20In-0.75(Cu-29.70Zn-0.42Ti) จากภาพถ่ายด้วยกล้องจุลทรรศน์แสง ใช้เลนส์วัตถุกำลังขยาย 20 และ 50 เท่า แสดงดังรูปที่ 4.10 (ก)-(ข) และจากภาพถ่ายด้วยกล้องจุลทรรศน์อิเล็กตรอนแบบต้องการด้วยกำลังขยาย 1,500 และ 3,500 เท่า แสดงในรูปที่ 4.11 (ก)-(ข) ตามลำดับ พบว่า โครงสร้างเป็นลักษณะเด่นไครต์ โครงสร้างมีความสม่ำเสมอ ประกอบด้วยเฟสแอลฟាលูพองเงิน และเฟสนิวตาของทองแดงที่กระจายอยู่ทั่วทุกที่ ซึ่งแสดงให้เห็นว่าขนาดของเด่นไครต์ลดลงมากกว่า โครงสร้างของเงินสเตอร์ลิงส่วนผสมอื่นๆ ที่ได้กล่าวมาแล้ว

จากการวิเคราะห์ส่วนผสมทางเคมีด้วยเทคนิค EDS แสดงตำแหน่งที่วิเคราะห์ในรูปที่ 4.11 (ข) ตำแหน่งที่ 1 เป็นบริเวณโครงสร้างพื้น และตำแหน่งที่ 2 บริเวณที่เป็นเฟสนิวตา ผลการวิเคราะห์แสดงในตารางที่ 4.6 พบว่าตำแหน่งที่ 1 เป็นเฟสแอลฟานิวตา 96.2 โดยน้ำหนัก และมีปริมาณทองแดงร้อยละ 3.8 โดยน้ำหนัก ส่วนบริเวณตำแหน่งที่ 2 เป็นเฟสนิวตา 94.0 โดยน้ำหนัก ปริมาณทองแดงร้อยละ 5.0 โดยน้ำหนัก และมีปริมาณดีบุกร้อยละ 1.0 โดยน้ำหนัก สำหรับผลการวิเคราะห์ธาตุดิบุกรพบได้ในบริเวณเฟสนิวตา ส่วนอินเดียม สังกะสี และไทเทเนียม ไม่สามารถตรวจสอบได้

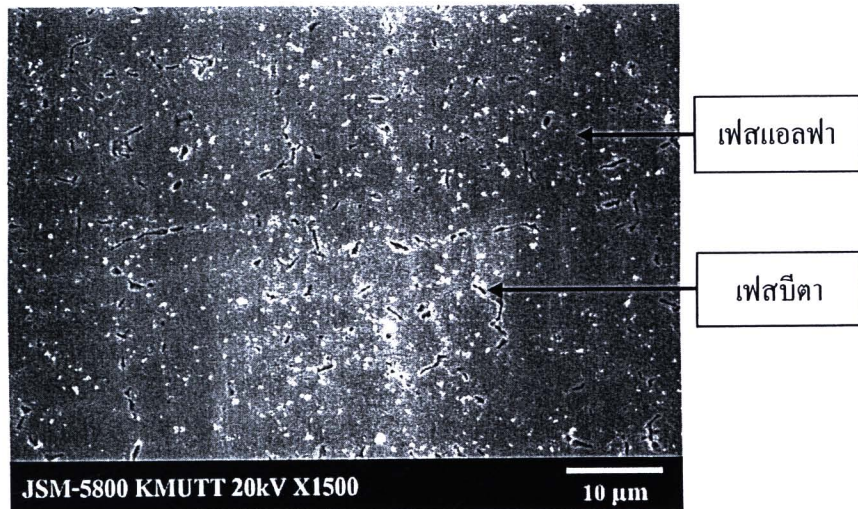


(ก)

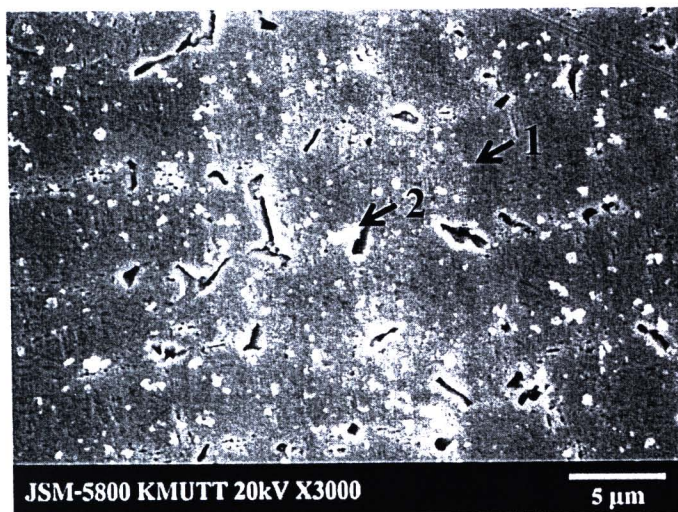


(ข)

รูปที่ 4.10 ภาพถ่ายด้วยกล้องจุลทรรศน์แสงของเงินสเตอร์ลิงส่วนผสม E (ก) กำลังขยาย 20 เท่า
(ข) กำลังขยาย 50 เท่า



(ก)



(ข)

รูปที่ 4.11 ภาพถ่ายด้วยกล้องจุลทรรศน์อิเล็กตรอนแบบส่องการดูของเงินสเตอร์ลิงส่วนผสม E

(ก) กำลังขยาย 1,500 เท่า (ข) กำลังขยาย 3,500 เท่า

ตารางที่ 4.6 ผลการวิเคราะห์ส่วนผสมทางเคมีของชิ้นงานเงินสเตอร์ลิงส่วนผสม E ด้วยเทคนิค EDS

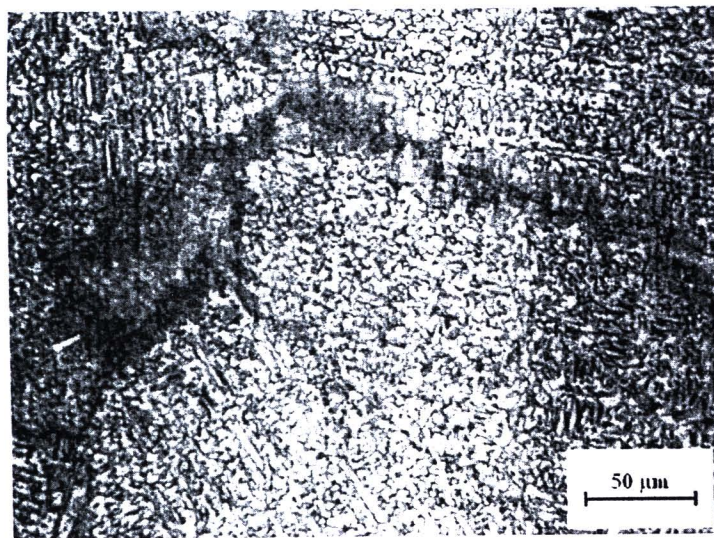
บริเวณที่วิเคราะห์	ปริมาณธาตุ (ร้อยละ โดยน้ำหนัก)					
	Ag	Cu	Sn	In	Zn	Ti
ตำแหน่งที่ 1	96.2	3.8	N/A	N/A	N/A	N/A
ตำแหน่งที่ 2	94.0	5.0	1.0	N/A	N/A	N/A

หมายเหตุ N/A หมายถึง ตรวจสอบไม่ได้

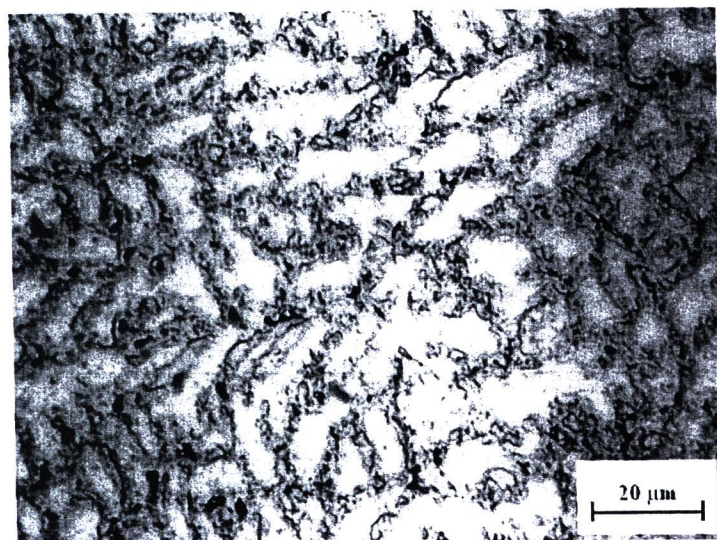
ความแข็งจุลภาคของเงินสเตอร์ลิงส่วนผสม E มีค่าเฉลี่ยเป็น 90.0 วิกเกอร์ ซึ่งมีค่าใกล้เคียงกับส่วนผสม B และ C ซึ่งมีค่าเท่ากัน 91 และ 89 วิกเกอร์ ตามลำดับ เนื่องจากโครงสร้างจุลภาคของส่วนผสม B, C และ E มีความละเอียด และสม่ำเสมอทั่วทั้งชิ้นงานเหมือนกัน จึงทำให้ความแข็งมีค่าใกล้เคียงกัน

โครงสร้างจุลภาคของเงินสเตอร์ลิงส่วนผสม F ที่มีส่วนผสมเป็น Ag-6.4(Cu-0.16Zr)-0.4Sn-0.2In จากภาพถ่ายด้วยกล้องจุลทรรศน์แสง ใช้เลนส์วัตถุกำลังขยาย 20 และ 50 เท่า แสดงในรูปที่ 4.12 (ก)-(ข) และจากภาพถ่ายด้วยกล้องจุลทรรศน์อิเล็กตรอนแบบส่องการด้วยกำลังขยาย 1,500 และ 3,500 เท่า แสดงในรูปที่ 4.13 (ก)-(ข) ตามลำดับ พบว่า โครงสร้างเป็นลักษณะเด่นๆ โครงสร้างพื้นเป็นเฟลแอลฟ่าที่มีปริมาณเงินเป็นส่วนผสมหลัก และพื้นที่สีดำเป็นเฟสนีตาซึ่งมีปริมาณทองแดงเป็นส่วนผสมหลัก

จากผลการวิเคราะห์ส่วนผสมทางเคมีด้วยเทคนิค EDS แสดงตำแหน่งที่วิเคราะห์ในรูปที่ 4.13 (ข) ตำแหน่งที่ 1 เป็นบริเวณโครงสร้างพื้น และตำแหน่งที่ 2 และ 3 เป็นบริเวณเฟสนีตา ผลการวิเคราะห์แสดงในตารางที่ 4.7 พบว่าตำแหน่งที่ 1 เป็นเฟลแอลฟ่าที่มีปริมาณเงินร้อยละ 95.5 โดยน้ำหนัก และมีปริมาณของทองแดงร้อยละ 4.0 โดยน้ำหนัก ส่วนบริเวณตำแหน่งที่ 2 และ 3 เป็นเฟสนีตา มีปริมาณของเงิน ทองแดง และเซอร์โคเนียมใกล้เคียงกัน และตำแหน่งที่ 3 บังพบริมาณของดีบุกร้อยละ 1.0 โดยน้ำหนัก เป็นที่น่าสังเกตว่าเฟสนีตา มีปริมาณของทองแดงน้อยกว่าปริมาณของเงิน ทั้งนี้เนื่องจากเฟสนีตามีขนาดเล็ก ผลการวิเคราะห์จึงมีพื้นที่บริเวณโครงสร้างพื้นรวมอยู่ด้วย สำหรับผลการวิเคราะห์ชาตุอินเดียน ไม่สามารถตรวจสอบได้ ทั้ง 3 บริเวณ ส่วนความแข็งจุลภาคของเงินสเตอร์ลิงส่วนผสม F มีค่าเฉลี่ยเป็น 85.0 วิกเกอร์

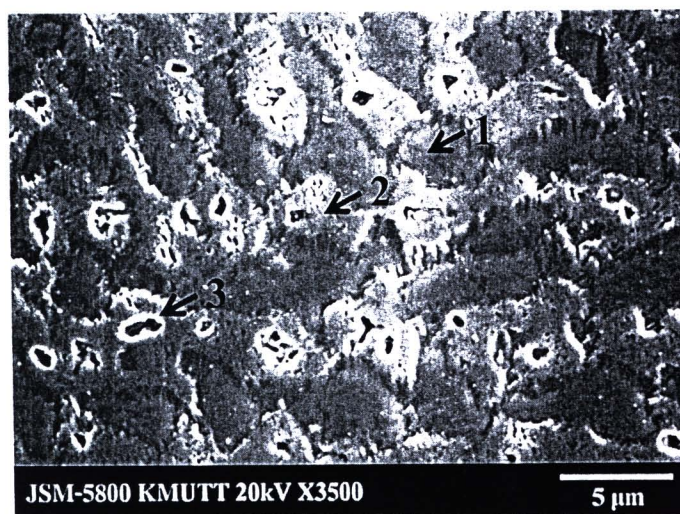
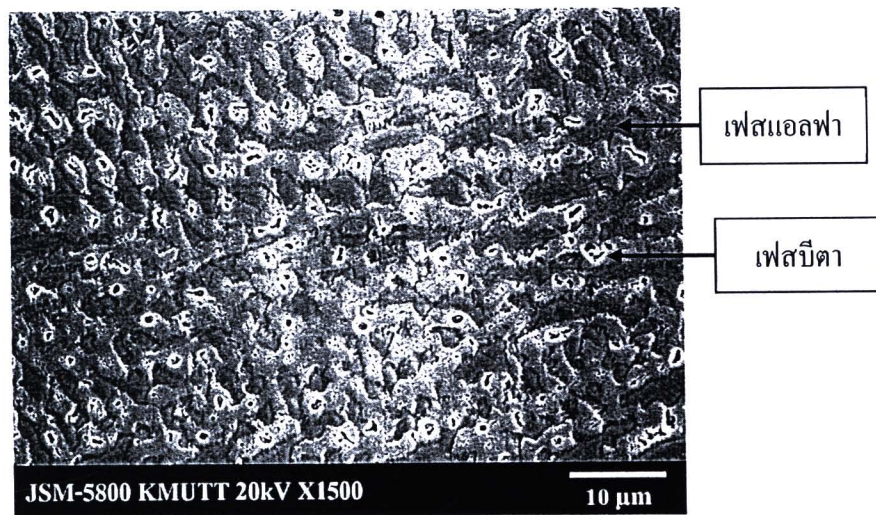


(ก)



(ข)

รูปที่ 4.12 ภาพถ่ายด้วยกล้องจุลทรรศน์แสดงของเงินสเตอร์ลิงส่วนผสม F (ก) กำลังขยาย 20 เท่า
(ข) กำลังขยาย 50 เท่า



รูปที่ 4.13 ภาพถ่ายด้วยกล้องจุลทรรศน์อิเล็กตรอนแบบส่องกราดของเจ็นสเตอร์ลิงส่วนผสม F

(ก) กำลังขยาย 1,500 เท่า (ข) กำลังขยาย 3,500 เท่า

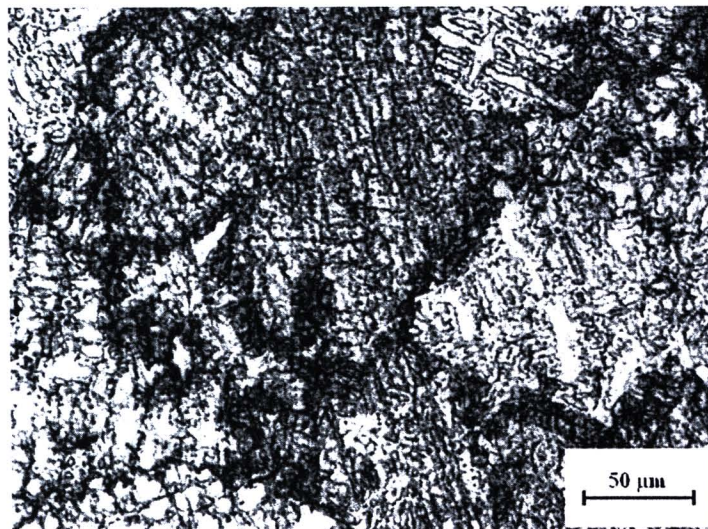
ตารางที่ 4.7 ผลการวิเคราะห์ส่วนผสมทางเคมีของชั้นงานเงินสเตอร์ลิงส่วนผสม F ด้วยเทคนิค EDS

บริเวณที่วิเคราะห์	ปริมาณธาตุ (ร้อยละ โดยน้ำหนัก)				
	Ag	Cu	Sn	In	Zr
ตำแหน่งที่ 1	95.5	4.0	N/A	N/A	0.5
ตำแหน่งที่ 2	92.8	6.5	N/A	N/A	0.7
ตำแหน่งที่ 3	92.0	6.0	1.0	N/A	1.0

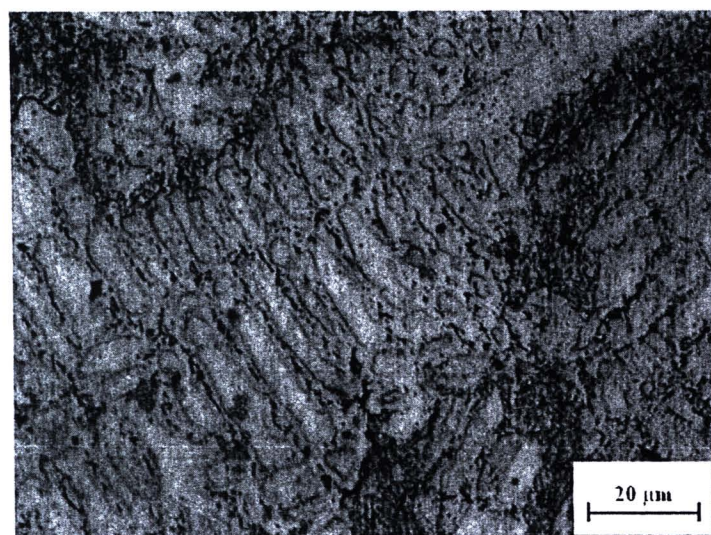
หมายเหตุ N/A หมายถึง ตรวจสอบไม่ได้

สำหรับโครงสร้างจุลภาคของเงินสเตอร์ลิงส่วนผสม G ที่มีส่วนผสมเป็น Ag-6.4(Cu-5Ti)-0.4Sn-0.2In จากภาพถ่ายด้วยกล้องจุลทรรศน์แสง ไชเลนส์วัตถุกำลังขยาย 20 และ 50 เท่า แสดงในรูปที่ 4.14 (ก)-(ข) และจากภาพถ่ายด้วยกล้องจุลทรรศน์อิเล็กตรอนแบบส่องการด้วยกำลังขยาย 1,500 และ 3,500 เท่า แสดงในรูปที่ 4.15 (ก)-(ข) ตามลำดับ พบว่า โครงสร้างเป็นลักษณะเด่น ไดรต์ โครงสร้างพื้นเป็นเฟสแอลฟ้าที่มีเงินเป็นส่วนผสมหลัก ส่วนบริเวณซ่องว่างระหว่างเด่น ไดรต์เป็นเฟสนีต้าที่มีทองแดง เป็นส่วนผสมหลัก

จากการวิเคราะห์ส่วนผสมทางเคมีด้วยเทคนิค EDS แสดงตำแหน่งที่วิเคราะห์ในรูปที่ 4.15 (ข) ตำแหน่งที่ 1 เป็นบริเวณโครงสร้างพื้น และตำแหน่งที่ 2 บริเวณที่เป็นเฟสนีต้า ผลการวิเคราะห์แสดงในตารางที่ 4.8 พบว่าตำแหน่งที่ 1 เป็นเฟสแอลฟ้ามีปริมาณเงินร้อยละ 95.6 โดยน้ำหนัก และมีปริมาณทองแดงร้อยละ 4.4 โดยน้ำหนัก ส่วนบริเวณตำแหน่งที่ 2 เป็นเฟสนีต้ามีปริมาณของเงินร้อยละ 95.0 โดยน้ำหนัก และมีปริมาณทองแดงร้อยละ 5.0 โดยน้ำหนัก ส่วนผลการวิเคราะห์ธาตุดีบุก อินเดียม และไทเทเนียม ไม่สามารถตรวจสอบได้ ทั้ง 2 บริเวณ และความแข็งจุลภาคมีค่าเฉลี่ย 82.0 วิกเกอร์

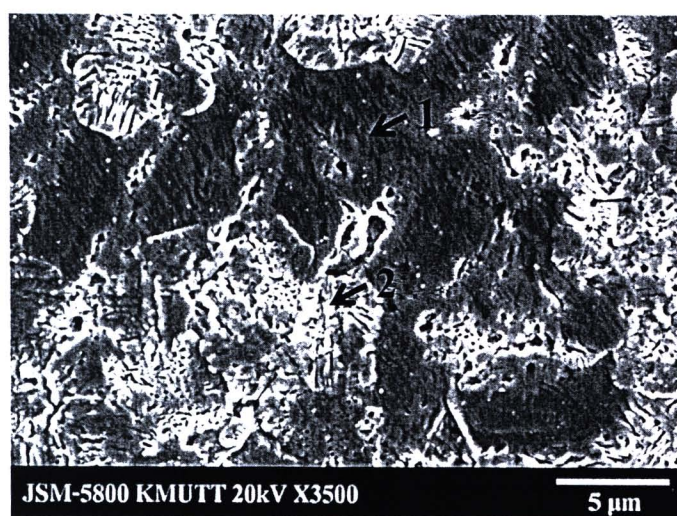
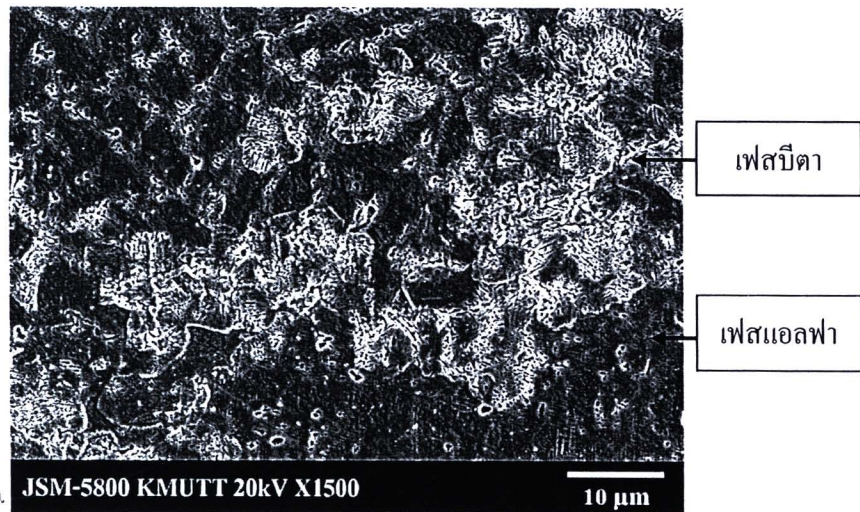


(f)



(g)

รูปที่ 4.14 ภาพถ่ายด้วยกล้องจุลทรรศน์แสงของเงินสเตอร์ลิงส่วนผสม G (ก) กำลังขยาย 20 เท่า
(ข) กำลังขยาย 50 เท่า



รูปที่ 4.15 ภาพถ่ายด้วยกล้องจุลทรรศน์อิเล็กตรอนแบบส่อง粒ของเงินสเตอร์ลิงส่วนผสม G

(ก) กำลังขยาย 1,500 เท่า (ข) กำลังขยาย 3,500 เท่า

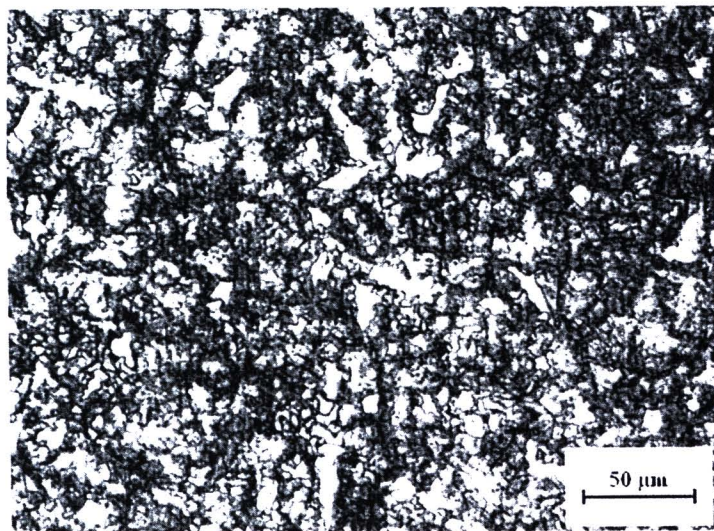
ตารางที่ 4.8 ผลการวิเคราะห์ส่วนผสมทางเคมีของชิ้นงานเงินสเตอร์ลิงส่วนผสม G ด้วยเทคนิค EDS

บริเวณที่วิเคราะห์	ปริมาณธาตุ (ร้อยละ โดยน้ำหนัก)				
	Ag	Cu	Sn	In	Ti
ตำแหน่งที่ 1	95.6	4.4	N/A	N/A	N/A
ตำแหน่งที่ 2	95.0	5.0	N/A	N/A	N/A

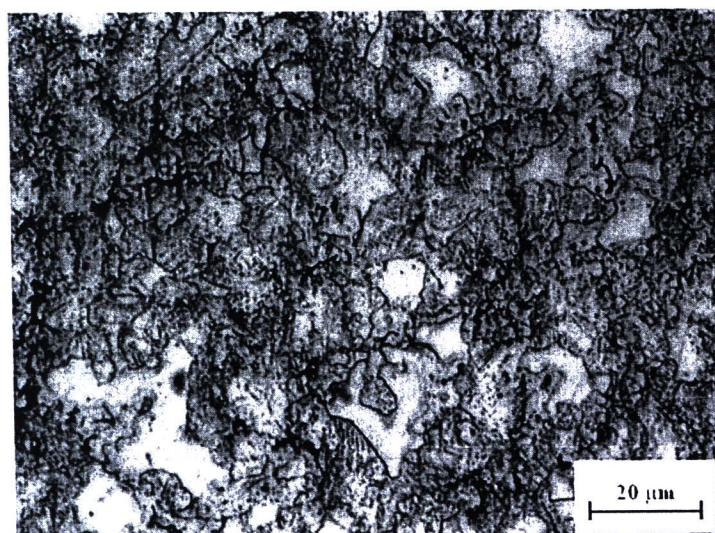
หมายเหตุ N/A หมายถึง ตรวจสอบไม่ได้

โครงสร้างจุลภาคของเงินสเตอร์ลิงส่วนผสม H ที่มีส่วนผสมเป็น Ag-6.4(Cu-1.96B)-0.4Sn-0.2In จากภาพถ่ายด้วยกล้องจุลทรรศน์แสง ใช้เลนส์วัตถุกำลังขยาย 20 และ 50 เท่า แสดงในรูปที่ 4.16 (ก)-(ข) และจากภาพถ่ายด้วยกล้องจุลทรรศน์อิเล็กตรอนแบบส่องจราดด้วยแก๊สกำลังขยาย 1,500 และ 3,500 เท่า แสดงในรูปที่ 4.17 (ก)-(ข) ตามลำดับ พบว่า โครงสร้างเป็นลักษณะเด่นๆ ประกอบด้วยโครงสร้างพื้นเป็นเฟสแอลฟ้าที่มีเงินเป็นส่วนผสมหลัก และเฟสนิวเคลียร์ซึ่งมีปริมาณของทองแดงเป็นส่วนผสมหลักอยู่บริเวณช่องว่างระหว่างเด่นๆ โครงสร้าง

จากผลการวิเคราะห์ส่วนผสมทางเคมีด้วยเทคนิค EDS แสดงตำแหน่งที่วิเคราะห์ในรูปที่ 4.17 (ข) ตำแหน่งที่ 1 เป็นบริเวณโครงสร้างพื้น และตำแหน่งที่ 2 เป็นบริเวณเฟสนิวเคลียร์ ผลการวิเคราะห์แสดงในตารางที่ 4.9 พบว่าตำแหน่งที่ 1 เป็นเฟสแอลฟามีปริมาณเงินร้อยละ 97.3 โดยน้ำหนัก และมีปริมาณทองแดงร้อยละ 2.7 โดยน้ำหนัก ส่วนบริเวณตำแหน่งที่ 2 เป็นเฟสนิวเคลียร์มีปริมาณของเงินร้อยละ 94.9 โดยน้ำหนัก มีปริมาณทองแดงร้อยละ 3.8 โดยน้ำหนัก และมีปริมาณดีบุกร้อยละ 1.0 โดยน้ำหนัก และผลการวิเคราะห์ธาตุอินเดียมและไนโตรเจน ไม่สามารถตรวจสอบได้ทั้ง 2 บริเวณ ความแข็งจุลภาคของเงินสเตอร์ลิงส่วนผสม H มีค่าเฉลี่ยเท่ากับ 76 วิกเกอร์

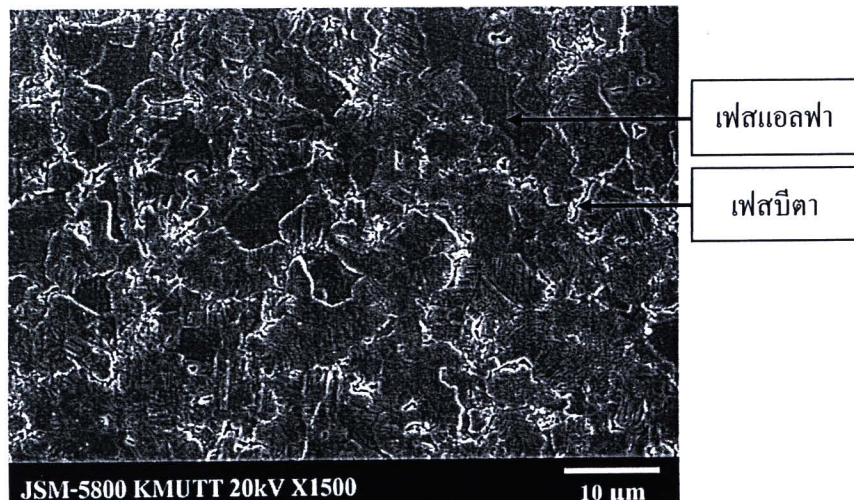


(ก)

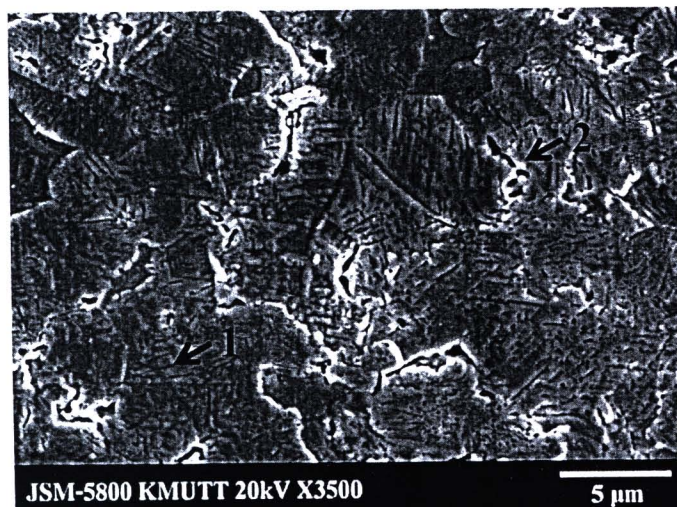


(ก)

รูปที่ 4.16 ภาพถ่ายด้วยกล้องจุลทรรศน์แสงของเงินสเตอร์ลิงส่วนผสม H (ก) กำลังขยาย 20 เท่า
(ข) กำลังขยาย 50 เท่า



(ก)



(ข)

รูปที่ 4.17 ภาพถ่ายด้วยกล้องจุลทรรศน์อิเล็กตรอนแบบส่องกราดของเงินสเตอร์ลิงส่วนผสม H

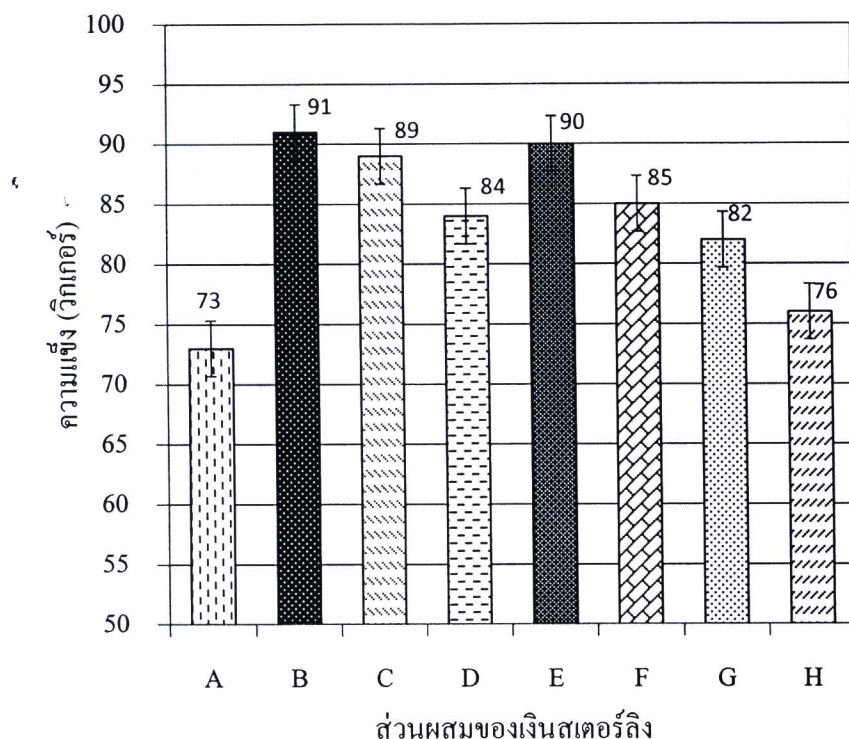
(ก) กำลังขยาย 1,500 เท่า (ข) กำลังขยาย 3,500 เท่า

ตารางที่ 4.9 ผลการวิเคราะห์ส่วนผสมทางเคมีของชิ้นงานเงินสเตอร์ลิงส่วนผสม H ด้วยเทคนิค EDS

บริเวณที่วิเคราะห์	ปริมาณธาตุ (ร้อยละโดยน้ำหนัก)				
	Ag	Cu	Sn	In	B
ตำแหน่งที่ 1	97.2	2.8	N/A	N/A	N/A
ตำแหน่งที่ 2	95.0	4.0	1.0	N/A	N/A

หมายเหตุ N/A หมายถึง ตรวจสอบไม่ได้

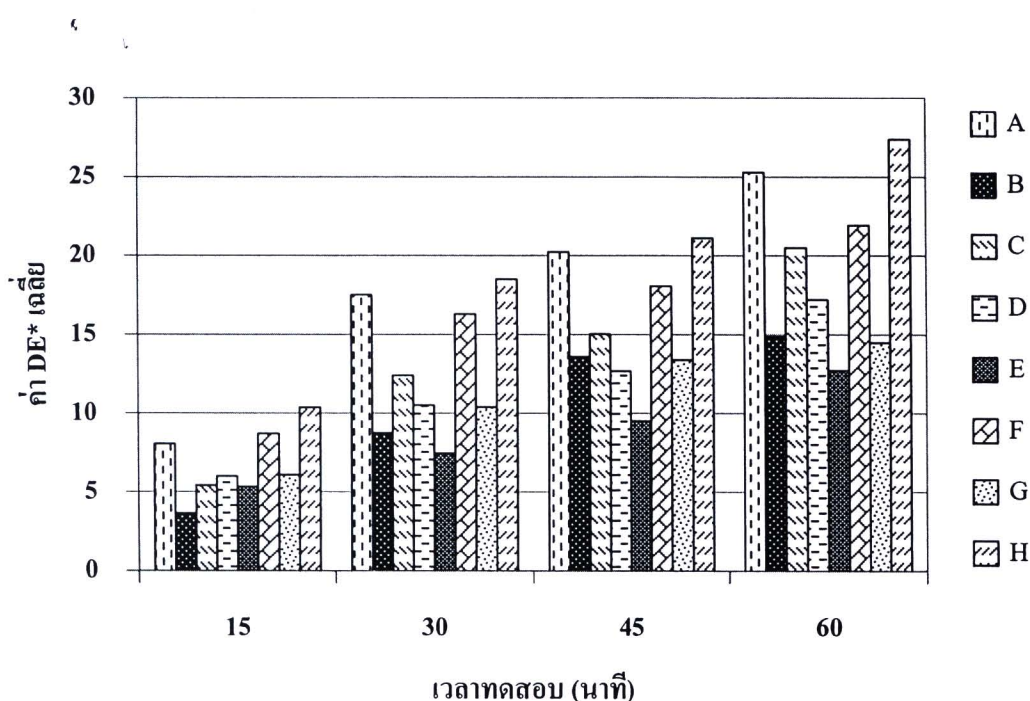
ในการรวมความแข็งจุลภาคของชิ้นงานเงินสเตอรอยด์ลิงส่วนผสม A-H แสดงในรูปที่ 4.18 พบว่า เงินสเตอรอยด์ลิงส่วนผสม A เป็นส่วนผสมเริ่มต้น Ag-6.4Cu-0.4Sn-0.2In มีค่าความแข็งเฉลี่ย 73 วิกเกอร์ ส่วนเงินสเตอรอยด์ลิงส่วนผสม B, C และ E มีความแข็งที่สูงใกล้เคียงกัน ซึ่งมีค่าความแข็งเฉลี่ยเป็น 91, 89 และ 90 วิกเกอร์ ตามลำดับ ส่วนเงินสเตอรอยด์ลิงส่วนผสม D, F, G และ H มีค่าความแข็งเฉลี่ยได้แก่ 84, 85, 82 และ 76 วิกเกอร์ ตามลำดับ ซึ่งมีค่าต่ำกว่าส่วนผสม B, C และ E เนื่องจากโครงสร้างจุลภาค ของทั้ง 3 ส่วนผสม มีเฟสบีตมากกว่าโครงสร้างจุลภาคของส่วนผสมอื่น



รูปที่ 4.18 ความแข็งจุลภาคของชิ้นงานหลังผ่านการหล่อของเงินสเตอรอยด์ลิง 8 ส่วนผสม

4.1.3 ผลการทดสอบความต้านทานการหมุนของเงินสเตอโรลิ่ง

ผลการทดสอบความต้านทานการหมุนของเงินสเตอโรลิ่ง ภายหลังการทดสอบโดยนำชิ้นงานไปตั้งในภาชนะปิดที่มีบรรยายกาศของสารละลายอื่นด้วยเดียมชัลไฟต์ ใช้เวลาในการทดสอบ 15, 30, 45 และ 60 นาที จากนั้นนำไปวัดค่าสีโดยใช้เครื่องสเปกโตร โฟโตมิเตอร์ เพื่อหาค่าการเปลี่ยนแปลงสี (DE*) ซึ่งค่านี้คำนวณได้จากการเปลี่ยนแปลงของสีก่อนและหลังการทดสอบของชิ้นงาน แสดงในรูปที่ 4.19 ผลการทดสอบที่เวลา 15 นาที พบว่าค่า DE* ของเงินสเตอโรลิ่งทุกส่วนผสม มีการเปลี่ยนแปลงเพียงเล็กน้อย เมื่อเพิ่มเวลาในการทดสอบเป็น 30 และ 45 นาที ค่า DE* มีการเปลี่ยนแปลงมากขึ้น และเมื่อเพิ่มเวลาในการทดสอบเป็น 60 นาที พบว่าค่า DE* มีการเปลี่ยนแปลงที่แตกต่างอย่างเห็นได้ชัดเจน ชิ้นงานเงินสเตอโรลิ่งที่มีส่วนผสม A หลังทดสอบเป็นเวลา 60 นาที พบว่าค่า DE* มีค่า 25.27 ในกราฟดังนี้จึงใช้เป็นมาตรฐาน เพื่อเปรียบเทียบค่า DE* กับส่วนผสมอื่น



รูปที่ 4.19 ค่าการเปลี่ยนแปลงสีของเงินสเตอโรลิ่งเมื่อใช้เวลาทดสอบ 15, 30, 45 และ 60 นาที

จากการวิจัยที่ผ่านมารายงานไว้ว่า เงินสเตอร์ลิง 925 ที่ไม่ได้เติมธาตุอื่นเลขอนอกจากทองแดง (Ag-7.5Cu) จัดว่ามีความด้านทานการหมองที่ไม่ดี มีค่า DE* อยู่ในช่วง 30-40 เป็นข้อมูลอ้างอิงจาก สิทธิบัตร US Patent 7,198,683 B2 [51] ซึ่งได้แบ่งค่า DE* เพื่อใช้บอกระดับความด้านทานการหมอง (Tarnish Rate) ไว้ 5 ระดับ ตั้งแต่ระดับ 0 ถึง 5 ระดับ 0 หมายถึง เงินสเตอร์ลิงมีความด้านทานการหมองดีที่สุด ระดับ 5 หมายถึง เงินสเตอร์ลิงที่มีความด้านทานการหมองดีที่สุด โดยทั่วไปมีการกำหนด ระดับการหมองที่ยอมรับได้ ต้องมีค่าไม่เกินระดับ 3.5 นั่นคือค่า DE* ต้องมีค่าไม่เกิน 25

ชิ้นงานเงินสเตอร์ลิงที่มีส่วนผสม H หลังทดสอบที่เวลา 60 นาที มีค่า DE* สูงสุด มีค่าประมาณ 27.37 แสดงว่ามีความด้านทานการหมองน้อยที่สุด เนื่องจากชิ้นงานนี้มีรูพรุนขนาดเล็ก ทำให้เป็นจุดเริ่มต้น ของการหมอง บรรยายกาศภายนอกที่เป็นก้าช ไฮโครเจนชัลไฟฟ์ จึงสามารถทำปฏิกิริยากับเนื้องานได้ รวดเร็ว ในการทดลองได้ขัดเจาชิ้นงานเพิ่มขึ้น แต่รูพรุนก็ไม่หมดไป

สำหรับชิ้นงานเงินสเตอร์ลิงที่มีส่วนผสมอื่นๆ ที่เหลือ ได้แก่ ส่วนผสม B, C, D, E และ G มีความด้านทานการหมองดีกว่าเงินสเตอร์ลิงส่วนผสม A ทุกส่วนผสม โดยเฉพาะส่วนผสม E แสดงค่าความด้านทานการหมองได้ดีที่สุด มีค่า DE* เท่ากับ 12.73 รองลงไปเป็นส่วนผสม G และ B ให้ค่า DE* เท่ากับ 14.50 และ 14.89 ตามลำดับ

สำหรับเงินสเตอร์ลิงส่วนผสม E ที่ประกอบด้วย Ag-5.65Cu-0.40Sn-0.20In-0.75(Cu-29.70Zn-0.42Ti) ซึ่งมีค่า DE* ดีสุด หมายความว่า มีความด้านทานการหมองดีที่สุด พบว่า มีการเติมธาตุสังกะสีกับไทเทเนียม แม้จะเป็นปริมาณเพียงเล็กน้อย ซึ่งมีความสอดคล้องกับงานวิจัยที่ผ่านมา พบว่า เงินสเตอร์ลิงที่มีความด้านทานการหมองที่ดี ควรเติมสังกะสีไม่เกินร้อยละ 1.0 โดยน้ำหนัก ดีบุกไม่เกินร้อยละ 0.85 โดยน้ำหนัก [51] และการเติมไทเทเนียมปริมาณไม่เกินร้อยละ 1.5 โดยน้ำหนัก จะทำให้เกิดชั้นพิล์มนบางที่ผิวของเงินสเตอร์ลิง [29] ซึ่งเป็นการป้องกันการสัมผัสนกับบรรยากาศของก้าช ไฮโครเจนชัลไฟฟ์ได้ ดังนั้น เงินสเตอร์ลิงส่วนผสม E ที่มีการเติมสังกะสี และ ไทเทเนียมในปริมาณน้อยจึงสามารถป้องกันการเปลี่ยนแปลงสีได้

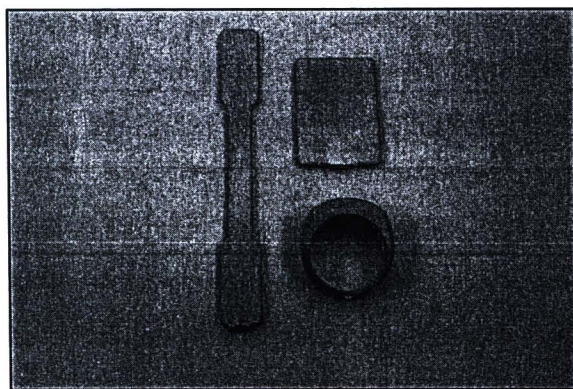


4.2 ผลการทดลองที่โรงงาน

4.2.1 ลักษณะชิ้นงานของเงินสเตอร์ลิง

ในการทดลองหลอมชิ้นงานที่โรงงานได้เลือกทำชิ้นงานเป็น 3 รูปแบบ ได้แก่ ชิ้นงานแหวนมีขนาดเส้นผ่านศูนย์กลาง 20 มิลลิเมตร ชิ้นงานสำหรับทดสอบแรงดึง กว้างxยาว เท่ากับ 8×80 มิลลิเมตร และชิ้นงานสำหรับทดสอบการหนองขนาดกว้างxยาว เท่ากับ 20×30 มิลลิเมตร ส่วนผสมของเงินสเตอร์ลิงที่เลือกมาทดสอบ ได้แก่ ส่วนผสม B และ E ซึ่งได้จากการพิจารณาจากค่าความแข็งสูงสุด มีค่า 91 และ 90 วิกเกอร์ ตามลำดับ และค่าความต้านทานการหนองหลังทดสอบโดยตั้งในบรรยากาศของสารละลายอัมดิวโซเดียมชัลไฟด์ เป็นเวลา 60 นาที ให้ค่า DE* เท่ากับ 14.89 และ 12.73 ตามลำดับ

สรุปว่าในการหลอมเงินสเตอร์ลิงส่วนผสม A โดยใช้อุณหภูมิ 1,080 องศาเซลเซียส อุ่นแม่พิมพ์ที่อุณหภูมิ 580 องศาเซลเซียส พบว่า น้ำโลหะใส ไม่หนืด เมื่อเทอน้ำโลหะลงในแม่พิมพ์ที่อุ่นไว้ที่ 580 องศาเซลเซียส หล่อเป็นชิ้นงาน ไม่พบกาตกครั้นจากการหลอม ลักษณะชิ้นงานที่ได้แสดงในรูปที่ 4.20 พบว่า ชิ้นงานที่ได้มีผิวเรียบ สีขาว ไม่มีความแวงววา เนื่องจากการหลอมโลหะด้วยระบบสูญญากาศสามารถป้องกันไม่ให้ก๊าซที่ไวด้อยต่อการทำปฏิกิริยา กับน้ำโลหะ ได้ เมื่อเปรียบเทียบลักษณะชิ้นงานที่ได้จากการหล่อในบรรยากาศปกติ พบว่า ผิวชิ้นงานมีกรอบสีเหลืองปนดำ ผิวหยาบ ขรุขระ

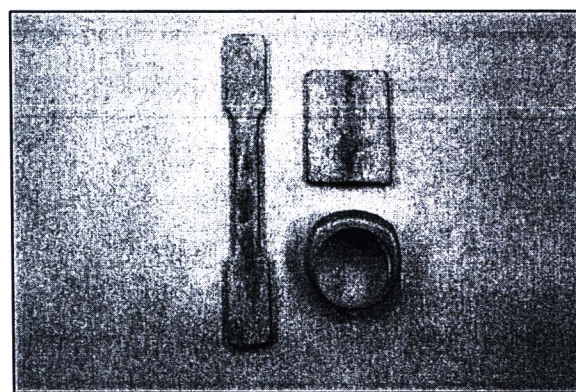


รูปที่ 4.20 ชิ้นงานของเงินสเตอร์ลิงส่วนผสม A ประกอบด้วย Ag-6.4Cu-0.4Sn-0.2In

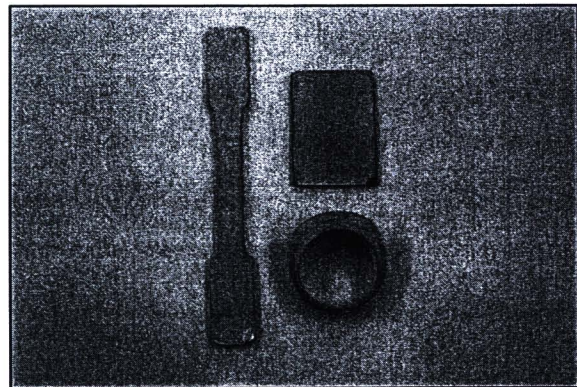
อุณหภูมิการหลอมเงินสเตอร์ลิงส่วนผสม B และ E ได้ทำการหลอมโดยใช้ 2 อุณหภูมิ ได้แก่ 1,130 และ 1,080 องศาเซลเซียส อุณหภูมิอุ่นแม่พิมพ์ใช้ 580 องศาเซลเซียส ในการหลอมครั้งแรกเลือกใช้อุณหภูมิ 1,130 องศาเซลเซียส เนื่องจากการใช้อุณหภูมิสูงมีผลให้น้ำโลหะไหลตัวได้ดี ทำให้น้ำโลหะไหลเต็มแบบที่มีลักษณะแตกต่างกันในแม่พิมพ์ได้ พบร่วมเงินสเตอร์ลิงส่วนผสม B บริเวณผิวน้ำของ

น้ำโลหะมีออกไซต์เกิดขึ้น หลังจากการหล่อพับตะกรันประมาณร้อยละ 7.17 โดยน้ำหนัก ส่วนเงินสเตอร์ลิงส่วนผสม E น้ำโลหะมีลักษณะใส หลังจากหล่อเป็นชิ้นงาน เหลือตะกรันเล็กน้อยประมาณร้อยละ 3.26 โดยน้ำหนัก จากนั้น ได้นำชิ้นงานเงินสเตอร์ลิงทั้งสองส่วนผสมไปขัดแต่งพิว พับตามดเกิดขึ้นบริเวณผิวเช่นเดียวกัน เมื่อทำการขัดผิวเพิ่มขึ้นยังคงพับตามดอยู่ภายใต้ในเนื้อชิ้นงาน เช่นเดิม สันนิษฐานว่าเกิดจากการหลอมโดยใช้อุณหภูมิสูงไป จึงทดลองหลอมใหม่ด้วยอุณหภูมิ 1,080 องศาเซลเซียส

ผลการหล่อเงินสเตอร์ลิงส่วนผสม B โดยใช้อุณหภูมิ 1,080 องศาเซลเซียส พบร่วมกับน้ำโลหะ 4.91 ส่วนเงินสเตอร์ลิงส่วนผสม E ไม่พับตะกรัน ลักษณะผิวของชิ้นงานเงินสเตอร์ลิงส่วนผสม B และ E หลังจากหล่อ แสดงในรูปที่ 4.21-4.22 ตามลำดับ พบร่วมกับ เงินสเตอร์ลิงส่วนผสม B ผิวมีคราฟสีเหลืองเกิดขึ้นเล็กน้อย ผิวเรียบ และบริเวณชิ้นงานที่ติดกับทางเข้าของน้ำโลหะ เกิดเป็นคราบของน้ำโลหะที่ไหลเข้าในแบบ แต่เมื่อทำการขัดแต่งพิว คราบดังกล่าวจะหายไป และไม่พับตามดในเนื้อของชิ้นงานทุกชิ้น เมื่อเปรียบเทียบกับชิ้นงานที่ได้จากการหลอมในบรรยากาศปกติ พบร่วมกับลักษณะผิวมีความใกล้เคียงกัน แต่ปริมาณของกากระถินของการหลอมแบบบรรยากาศปกติมีปริมาณมากกว่าการหลอมในระบบสูญญากาศ สำหรับเงินสเตอร์ลิงส่วนผสม E มีผิวเรียบสีขาว เหมือนส่วนผสม A เมื่อนำไปขัดแต่งพิวไม่พับตามดในเนื้อชิ้นงาน โดยทั่วไปการหลอมและหล่อในระบบสูญญากาศย่อมให้สมบัติของชิ้นงานดีกว่าการหลอมในบรรยากาศปกติอยู่แล้ว ดังนั้นผิวชิ้นงาน จึงไม่มีคราฟสีเหลืองสีดำปน แสดงว่า การหลอมและหล่อเงินสเตอร์ลิงที่ใช้อุณหภูมิ 1,080 องศาเซลเซียส มีความเหนาะสูงมากขึ้น



รูปที่ 4.21 ชิ้นงานของเงินสเตอร์ลิงส่วนผสม B

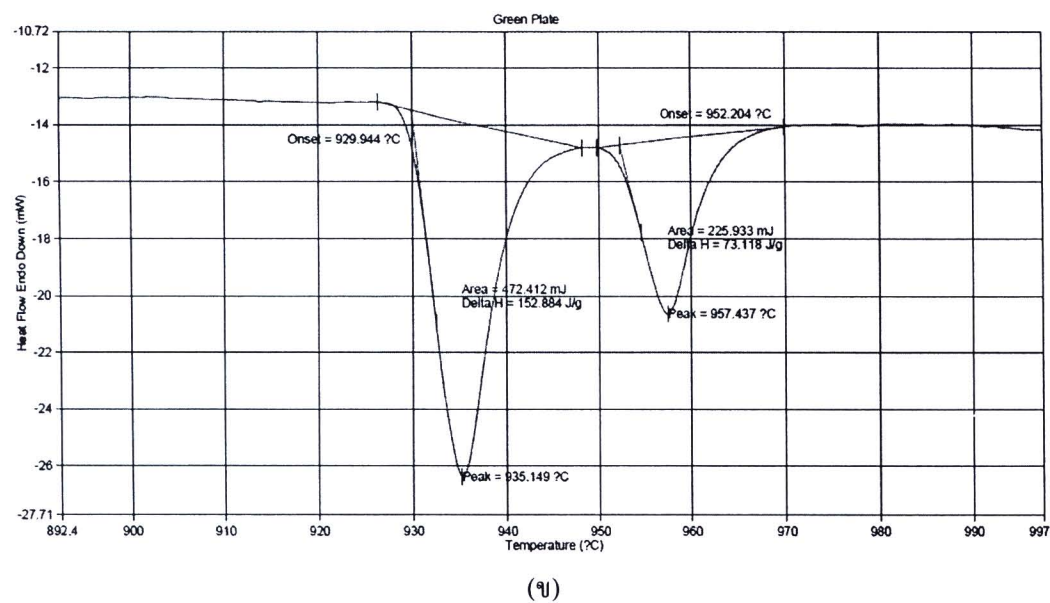
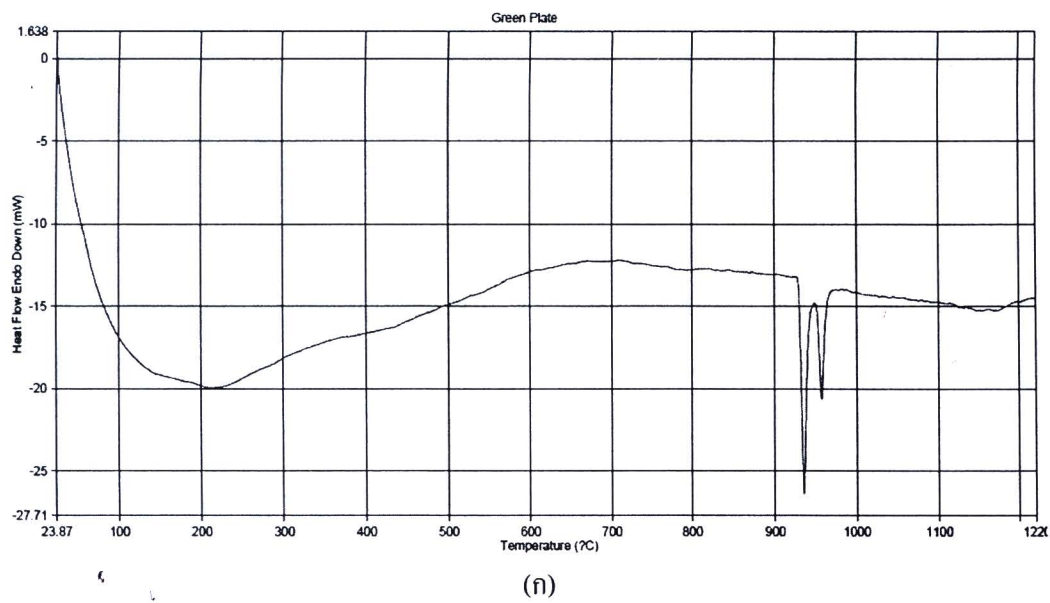


รูปที่ 4.22 ชิ้นงานของเงินสเตอร์ลิงส่วนผสม E

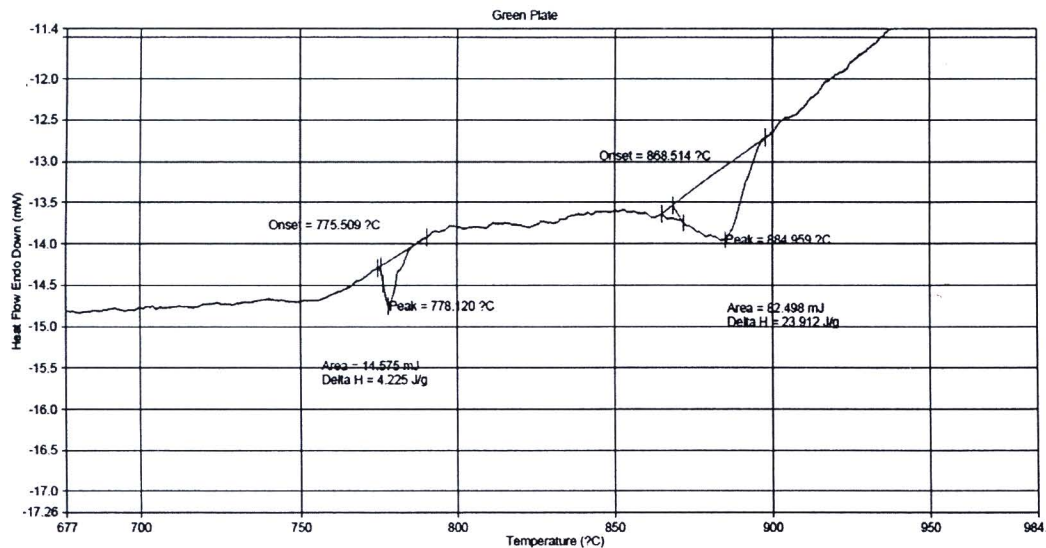
4.2.2 ผลการวิเคราะห์การเปลี่ยนแปลงความร้อนด้วยเทคนิค DTA

ผลการวิเคราะห์การเปลี่ยนแปลงความร้อนของเงินสเตอร์ลิงส่วนผสม A ในช่วงอุณหภูมิห้องถึง 1,200 องศาเซลเซียส แสดงในรูปที่ 4.23 (ก)-(ข) ตามลำดับ พบว่า มีพิกที่เกิดการดูดความร้อน (Endothermic) แสดงว่ามีการสลายตัวของเฟสที่อุณหภูมิ 953 และ 957 องศาเซลเซียส การเปลี่ยนแปลงปริมาณความร้อนเกิดขึ้นที่อุณหภูมิ 930 องศาเซลเซียส ซึ่งเป็นอุณหภูมิที่เริ่มเกิดการหลอมเหลว และหลอมเหลวสมบูรณ์ที่อุณหภูมิ 957 องศาเซลเซียส จากการวิเคราะห์จุดหลอมเหลว แสดงให้เห็นว่า การหลอมด้วยอุณหภูมิ 1,080 องศาเซลเซียส ที่ใช้หล่อมีความเหมาะสม เนื่องจากมีอุณหภูมิสูงกว่าจุดหลอมเหลวอยู่ในช่วง 100-120 องศาเซลเซียส และชิ้นงานเต็มแบบ มีผิวเรียบ ขัดแต่งผิวไม่พนตามด หรือรูพรุนในเนื้อของชิ้นงานทุกแบบ

ผลการวิเคราะห์การเปลี่ยนแปลงความร้อนของเงินสเตอร์ลิงส่วนผสม B ช่วงอุณหภูมิ 500-1,200 องศาเซลเซียส แสดงดังรูปที่ 4.24 พบว่า มีพิกที่เกิดการดูดความร้อน แสดงว่ามีการสลายตัวของเฟสที่ อุณหภูมิ 778 และ 885 องศาเซลเซียส เมื่อเบรเยบเทียบอุณหภูมิในการหลอมเงินสเตอร์ลิงส่วนผสม B ครั้งแรกกับผลการวิเคราะห์จุดหลอมเหลว แสดงให้เห็นว่า อุณหภูมิที่เลือกใช้ก่อนการวิเคราะห์การเปลี่ยนแปลงความร้อนค่อนข้างสูง เนื่องจากเกิดตามค่าผิวในเนื้อชิ้นงาน หลังจากวิเคราะห์ได้มีการเลือกอุณหภูมิที่ต่ำลงเพื่อกำหนดเป็นสภาวะในการหลอมครั้งต่อไป ซึ่งผลของการเปลี่ยนสภาวะการหลอมเป็น 1,080 องศาเซลเซียส ทำให้ผิวชิ้นงานหลังขัดแต่งไม่พนตามคากายใน แสดงให้เห็นว่า อุณหภูมิที่ใช้หลอมครั้งที่ 2 มีความเหมาะสมขึ้น

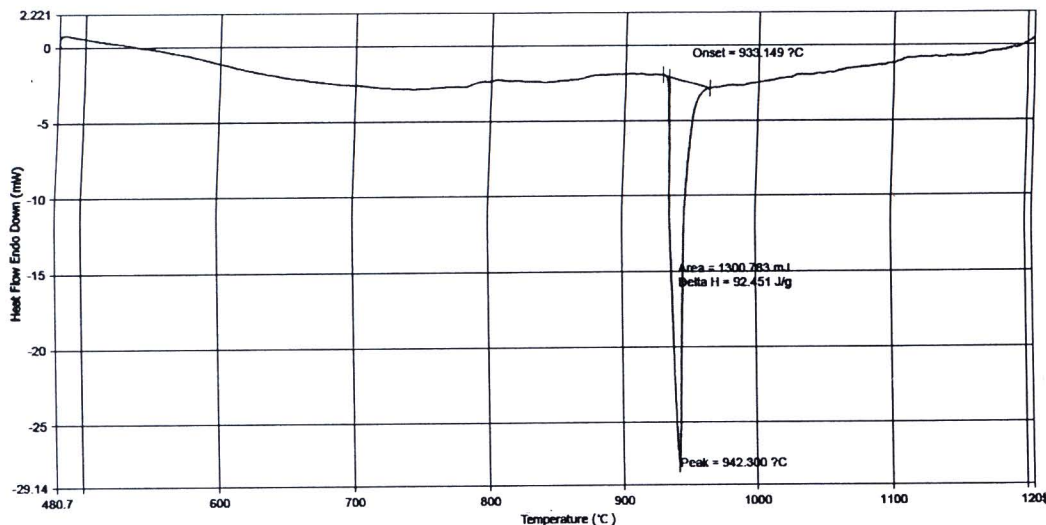


รูปที่ 4.23 ผลการวิเคราะห์การเปลี่ยนแปลงความร้อนของเงินสเตอร์ลิงส่วนผสม A วิเคราะห์ด้วยเทคนิค DTA (ก) อุณหภูมิห้องถึง 1,200 องศาเซลเซียส (ข) ภาพขยายช่วงอุณหภูมิ 890-990 องศาเซลเซียส



รูปที่ 4.24 ผลการวิเคราะห์การเปลี่ยนแปลงความร้อนของเงินสเตอร์ลิงส่วนผสม B วิเคราะห์ด้วยเทคนิค DTA

ผลการวิเคราะห์การเปลี่ยนแปลงความร้อนของเงินสเตอร์ลิงส่วนผสม E ในช่วงอุณหภูมิ 500-1,200 องศาเซลเซียส แสดงในรูปที่ 4.25 พบว่าการเปลี่ยนแปลงปริมาณความร้อนเกิดขึ้นที่อุณหภูมิ 933 องศาเซลเซียส ซึ่งเป็นอุณหภูมิที่เริ่มเกิดการหลอมเหลว และหลอมเหลวสมบูรณ์ที่อุณหภูมิ 942 องศาเซลเซียส จากการวิเคราะห์จุดหลอมเหลวแสดงให้เห็นว่า อุณหภูมิที่เลือกใช้ก่อนการวิเคราะห์ การเปลี่ยนแปลงความร้อนค่อนข้างสูงมาก จึงเป็นเหตุให้เกิดตามดังในเนื้อหานี้ หลังนำไปปั๊ดแต่งผิว ภายใน แสดงให้เห็นว่า อุณหภูมิที่ใช้หลอมนี้มีความหมายมากขึ้น



รูปที่ 4.25 ผลการวิเคราะห์การเปลี่ยนแปลงความร้อนของเงินสเตอร์ลิงส่วนผสม E วิเคราะห์ด้วยเทคนิค DTA

สำหรับผลการวิเคราะห์การเปลี่ยนแปลงความร้อนของเงินสเตอร์ลิงส่วนผสม B และ E สามารถนำไปใช้ในโรงงานได้จริง โดยช่างผู้ชำนาญการในโรงงานสามารถเลือกอุณหภูมิที่จะใช้หลอม และหล่อเป็นเครื่องประดับจากรูปแบบของชิ้นงานได้อย่างเหมาะสม เช่น ความซับซ้อนและความบางของชิ้นงาน เป็นต้น เพื่อให้ชิ้นงานมีคุณภาพที่ดีขึ้น สามารถลดของเสียในการผลิตได้

4.2.3 ผลการวิเคราะห์ส่วนผสมทางเคมีด้วยเทคนิค ICP-OES

ผลการวิเคราะห์ส่วนผสมทางเคมีด้วยเทคนิค ICP-OES ของโลหะเงินสเตอร์ลิงส่วนผสม A, B และ E แสดงในตารางที่ 4.10 พบว่า ปริมาณธาตุดีบุกที่ตรวจสอบได้ในเงินสเตอร์ลิงส่วนผสม A, B และ E ลดลงจากปริมาณดีบุกที่ใช้ในการหล่อมากกว่าธาตุอื่น จากการสังเกตจะเห็นว่าธาตุที่มีปริมาณลดลง คือธาตุที่เป็นตัวลดออกซิเจน ได้แก่ ดีบุก อะลูминิเนียม แมกนีเซียม และสังกะสี โดยธาตุเหล่านี้สามารถรวมตัวกันออกซิเจนได้ดีกว่าเงิน ได้เป็นสารประกอบของออกไซด์ลอยปักคลุมอยู่ที่ผิวน้ำของน้ำโลหะ เมื่อทำการหล่อเป็นชิ้นงาน จะเหลือตะกรันแยกตัวออกมาอยู่บริเวณผิวน้ำตรงเททองงาน หล่อ

จากการวิเคราะห์ส่วนผสมทางเคมีทั้ง 3 ส่วนผสม ถึงแม้ปริมาณธาตุแต่ละชนิดที่ตรวจสอบได้จะไม่เท่ากับปริมาณธาตุที่เติมลงไป แต่แนวโน้มของปริมาณธาตุที่เติมเป็นไปในทิศทางเดียวกับปริมาณธาตุที่เติมลงไปก่อนหล่อ ซึ่งสัดส่วนนี้สามารถนำไปทดสอบสมบัติต่างๆ ได้

ตารางที่ 4.10 ผลการวิเคราะห์ส่วนผสมทางเคมีของเงินสเตอร์ลิงด้วยเทคนิค ICP-OES

ปริมาณธาตุ (ร้อยละ โดยน้ำหนัก)	เงินสเตอร์ลิงส่วนผสม		เงินสเตอร์ลิงส่วนผสม		เงินสเตอร์ลิงส่วนผสม	
	A	B	C	D	E	
	ตั้งต้น	ICP-OES	ตั้งต้น	ICP-OES	ตั้งต้น	ICP-OES
Ag	Bal.	Bal.	Bal.	Bal.	Bal.	Bal.
Cu	6.40	5.24	5.65	5.64	6.17	4.83
Sn	0.40	0.22	0.40	0.13	0.40	0.09
In	0.20	0.22	0.20	0.18	0.20	0.13
Al	-	-	0.73	0.53	-	-
Mg	-	-	0.008	0.004	-	-
Si	-	-	0.005	0.007	-	-
Ti	-	-	0.002	0.010	0.003	0.010
Zn	-	-	-	-	0.223	0.170

นายเหตุ - หมายถึง ไม่ได้เติมและ ไม่ได้วิเคราะห์

4.2.4 ผลการวิเคราะห์ส่วนผสมทางเคมีด้วยเทคนิค XRF

การวิเคราะห์ส่วนผสมทางเคมีด้วยเทคนิค XRF ได้วิเคราะห์บนชิ้นงานจำนวน 3 ตำแหน่ง พื้นที่ในการวิเคราะห์มีเส้นผ่านศูนย์กลางประมาณ 0.8 มิลลิเมตร แสดงดังรูปที่ 3.13 ในบทที่ 3 สำหรับผลการวิเคราะห์ส่วนผสมทางเคมีแสดงในตารางที่ 4.11 พบว่า เงินสเตอร์ลิงส่วนผสม A มีปริมาณเงินเฉลี่ยร้อยละ 93.95 ทองแดงเฉลี่ยร้อยละ 5.38 ดีบุกเฉลี่ยร้อยละ 0.49 และอินเดียมเฉลี่ยร้อยละ 0.19 ตามลำดับ จะเห็นได้ว่าในแต่ละบริเวณที่ทำการวิเคราะห์มีปริมาณธาตุใกล้เคียงกัน ธาตุที่สูญหายไปอาจเกิดจากการเกิดเป็นสารประกอบออกไซด์ในขณะหลอมแล้วกล้ายเป็นตะกรัน

สำหรับเงินสเตอร์ลิงส่วนผสม B พบว่า ปริมาณของเงินและดีบุกเพิ่มขึ้นทุกบริเวณที่ทำการวิเคราะห์ ส่วนทองแดงและอินเดียมมีปริมาณลดลงในทุกบริเวณ เช่นกัน ใน การวิเคราะห์ด้วยเทคนิคนี้ไม่พบ ปริมาณของชาตุอะลูมิเนียม แมgnีเซียม ซิลิคอนและไทเทเนียม เนื่องจากจุดจำกัดของเครื่องมือ วิเคราะห์ซึ่งไม่สามารถวิเคราะห์ธาตุดังกล่าวได้ ส่วนเงินสเตอร์ลิงส่วนผสม E จากการวิเคราะห์ทั้ง 3 บริเวณ พบว่า แต่ละบริเวณมีปริมาณของเงิน ทองแดง ดีบุก อินเดียม และสังกะสีไม่แตกต่างกัน โดย ทองแดงมีปริมาณลดลงทั้ง 3 บริเวณ ส่วนไทเทเนียมไม่พบในการวิเคราะห์

การวิเคราะห์ส่วนผสมทางเคมีด้วยเทคนิค XRF เป็นการวิเคราะห์ปริมาณธาตุแต่ละบริเวณ ซึ่งการ วิเคราะห์ด้วยเทคนิคนี้จะให้ปริมาณของธาตุแต่ละชนิดที่ถูกต้องได้ จำเป็นต้องทำการวิเคราะห์หลายๆ ตำแหน่งของชิ้นงาน ทำให้เทคนิคนี้สามารถวิเคราะห์การกระจายตัวของปริมาณธาตุของชิ้นงานได้ สามารถนำผลการวิเคราะห์ไปเสริมกับผลการวิเคราะห์ด้วยเทคนิค SEM-EDS ได้

ตารางที่ 4.11 ผลการวิเคราะห์ส่วนผสมทางเคมีของเงินสดหรือตัวเขียน XRF

ปริมาณ ธาตุ (ร้อยละ โดย น้ำหนัก)	เงินสดหรือตัวเขียน A						เงินสดหรือตัวเขียน B						เงินสดหรือตัวเขียน E								
	ตัวแทนวิเคราะห์ XRF			ค่า เบี่ยงเบน มาตรฐาน			ตัวแทนวิเคราะห์ XRF			ค่า เบี่ยงเบน มาตรฐาน			ตัวแทนวิเคราะห์ XRF			ค่า เบี่ยงเบน มาตรฐาน					
	ตั้งศูนย์ 1	2	3	เฉลี่ย	ตั้งศูนย์ 1	2	3	เฉลี่ย	ตั้งศูนย์ 1	2	3	เฉลี่ย	ตั้งศูนย์ 1	2	3	เฉลี่ย	ตั้งศูนย์ 1	2	3	เฉลี่ย	
Ag	93.00	93.99	94.15	93.71	93.95	0.22	93.00	93.20	93.73	93.68	93.54	0.29	93.00	94.37	94.35	94.31	94.34	0.03			
Cu	6.40	5.44	5.23	5.48	5.38	0.13	5.65	5.97	5.53	5.65	5.72	0.23	6.17	4.76	4.73	4.79	4.76	0.03			
Sn	0.40	0.40	0.44	0.63	0.49	0.12	0.40	0.63	0.56	0.48	0.56	0.08	0.40	0.54	0.59	0.52	0.55	0.04			
In	0.20	0.17	0.18	0.19	0.18	0.01	0.20	0.20	0.18	0.19	0.19	0.01	0.20	0.19	0.20	0.22	0.20	0.02			
Al	-	-	-	-	-	-	0.73	N/A	N/A	-	-	-	-	-	-	-	-	-	-	-	-
Mg	-	-	-	-	-	-	0.008	N/A	N/A	-	-	-	-	-	-	-	-	-	-	-	-
Si	-	-	-	-	-	-	0.005	N/A	N/A	-	-	-	-	-	-	-	-	-	-	-	-
Ti	-	-	-	-	-	-	0.002	N/A	N/A	-	-	0.003	N/A	N/A	-	-	-	-	-	-	-
Zn	-	-	-	-	-	-	-	-	-	-	-	0.223	0.140	0.140	0.160	0.15	0.01				

หมายเหตุ N/A หมายถึง ตรวจสอบไม่ได้
- หมายถึง ไม่ได้ติดผลและไม่ได้วัดคร่าวๆ

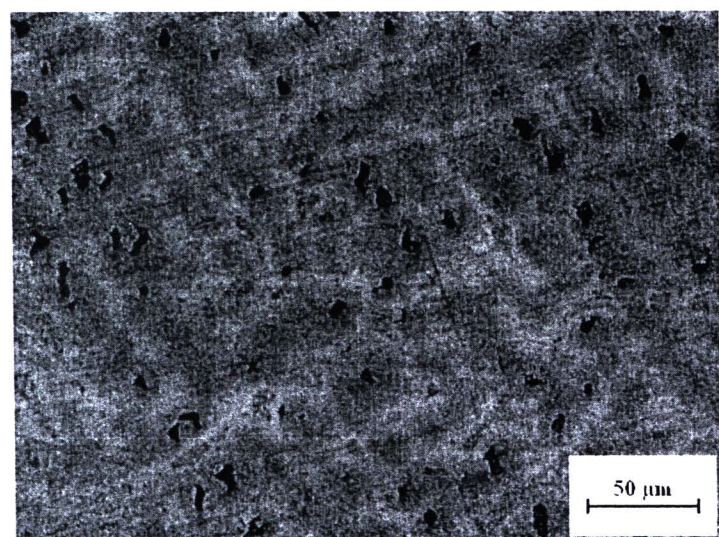
4.2.5 ผลการศึกษาโครงสร้างจุลภาค

โครงสร้างจุลภาคของชิ้นงานเงินสเตอร์ลิงส่วนผสม A ที่มีส่วนผสมของ Ag-6.4Cu-0.4Sn-0.2In จากภาพถ่ายด้วยกล้องจุลทรรศน์แสง ใช้เลนส์กำลังขยาย 10 และ 20 เท่า แสดงในรูปที่ 4.26 (ก)-(ข) และจากภาพถ่ายด้วยกล้องจุลทรรศน์อิเล็กตรอนแบบส่องกราดด้วยกำลังขยาย 500 และ 1,000 เท่า แสดงในรูปที่ 4.27 (ก)-(ข) ตามลำดับ พบว่า โครงสร้างเป็นลักษณะเด่นๆ คือ บริเวณโครงสร้างพื้นเป็นเฟส แอลฟ้าที่มีเงินเป็นส่วนผสมหลัก ส่วนบริเวณพื้นที่สีดำเป็นเฟสบีต้า ซึ่งมีปริมาณทองแดงเป็นส่วนผสมหลัก

จากผลการวิเคราะห์ส่วนผสมทางเคมีด้วยเทคนิค EDS แสดงคำแนะนำที่วิเคราะห์ในรูปที่ 4.27 (ข) คำแนะนำที่ 1 และ 2 เป็นบริเวณโครงสร้างพื้น และคำแนะนำที่ 3 เป็นบริเวณเฟสบีต้า ผลการวิเคราะห์แสดงในตารางที่ 4.12 พบว่าบริเวณที่ 1 และบริเวณที่ 2 เป็นเฟสแอลฟ้า มีปริมาณเงินและทองแดง ใกล้เคียงกัน ส่วนบริเวณที่ 3 เป็นเฟสบีต้ามีปริมาณของเงินร้อยละ 94.91 โดยน้ำหนัก และมีปริมาณทองแดงร้อยละ 5.09 โดยน้ำหนัก สังเกตได้ว่าเฟสบีต้ามีขนาดเล็ก ผลการวิเคราะห์จึงมีโอกาสคลาดเคลื่อน ความแข็งจุลภาคของเงินสเตอร์ลิงส่วนผสม A มีค่าเฉลี่ย 64.7 วิกเกอร์

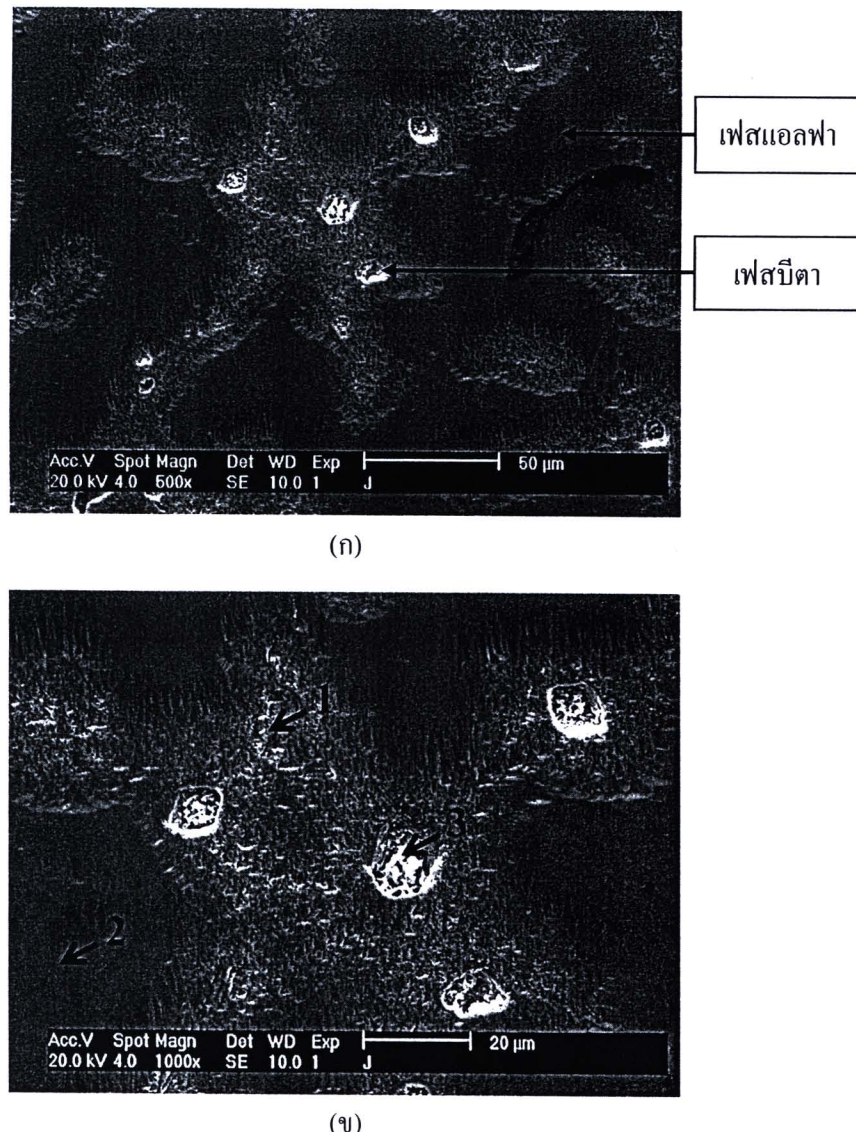


(f)



(g)

รูปที่ 4.26 ภาพถ่ายด้วยกล้องจุลทรรศน์แสงของชิ้นงานเงินสเตอร์ลิงส่วนผสม A
(ก) กำลังขยาย 10 เท่า (ข) กำลังขยาย 20 เท่า



รูปที่ 4.27 ภาพถ่ายด้วยกล้องจุลทรรศน์อิเล็กตรอนแบบส่องกราดของชิ้นงานเงินสเตอร์ลิง ส่วนผสม A (ก) กำลังขยาย 500 เท่า (ข) กำลังขยาย 1,000 เท่า

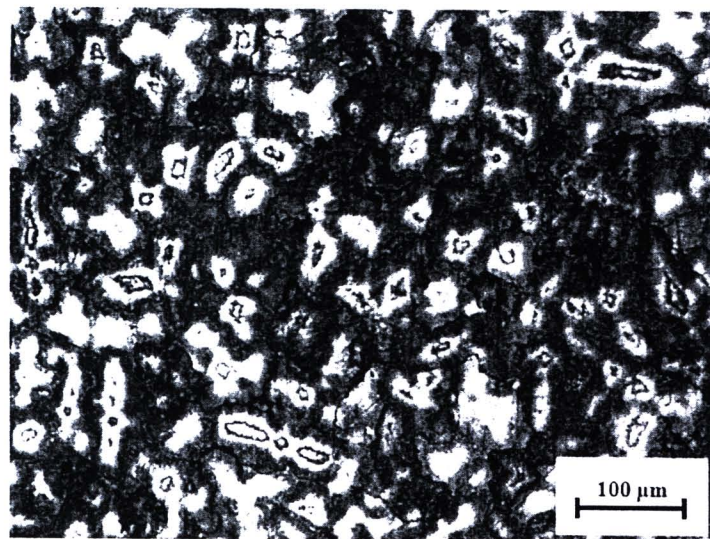
ตารางที่ 4.12 ผลการวิเคราะห์ส่วนผสมทางเคมีของชิ้นงานเงินสเตอร์ลิงส่วนผสม A ด้วยเทคนิค EDS

บริเวณที่วิเคราะห์	ปริมาณธาตุ (ร้อยละ โดยน้ำหนัก)			
	Ag	Cu	Sn	In
ตำแหน่งที่ 1	97.26	2.74	N/A	N/A
ตำแหน่งที่ 2	97.83	2.17	N/A	N/A
ตำแหน่งที่ 3	94.91	5.09	N/A	N/A

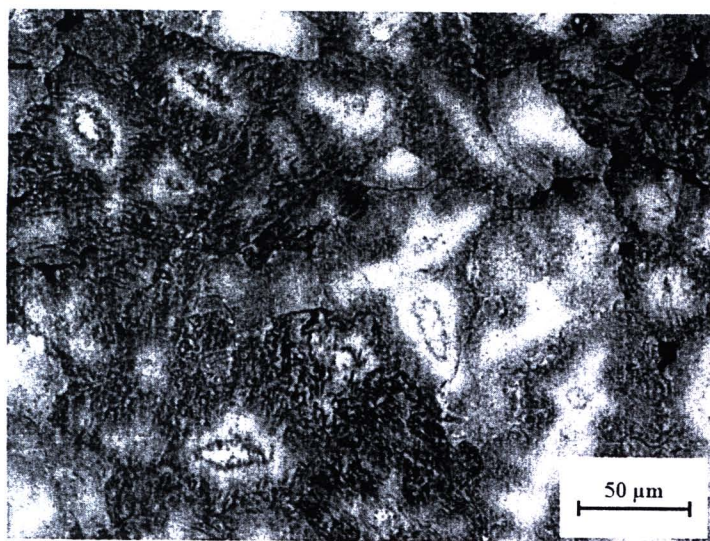
หมายเหตุ N/A หมายถึง ตรวจสอบไม่ได้

สำหรับโครงสร้างจุลภาคของชิ้นงานเงินสเตอร์ลิงส่วนผสม B ที่มีส่วนผสมเป็น Ag-5.65Cu-0.4Sn-0.2In-0.75(Al-1.05Mg-0.64Si-0.25Ti) จากภาพถ่ายด้วยกล้องจุลทรรศน์แสง ใช้เลนส์วัตถุกำลังขยาย 10 และ 20 เท่า แสดงในรูปที่ 4.28 (ก)-(ข) และจากภาพถ่ายด้วยกล้องจุลทรรศน์อิเล็กตรอนแบบส่องการด้วยกำลังขยาย 1,000 และ 1,500 เท่า แสดงในรูปที่ 4.29 (ก)-(ข) ตามลำดับ พบว่า โครงสร้างเป็นลักษณะเด่นไครต์ บริเวณโครงสร้างพื้นเป็นเฟสแอลฟ่าที่มีเงินเป็นส่วนผสมหลัก และบริเวณเฟสบีตาที่มีทองแดงเป็นส่วนผสมหลักอยู่ระหว่างช่องว่างของเด่นไครต์

จากการวิเคราะห์ส่วนผสมทางเคมีด้วยเทคนิค EDS แสดงตำแหน่งที่วิเคราะห์ในรูปที่ 4.29 (ข) ตำแหน่งที่ 1 และ 2 เป็นโครงสร้างพื้น และบริเวณตำแหน่งที่ 3 เป็นบริเวณเฟสนีตา ผลการวิเคราะห์แสดงในตารางที่ 4.13 พบว่า ตำแหน่งที่ 1 และ 2 เป็นเฟสแอลฟ่าเหมือนกัน เนื่องจากปริมาณเงินทองแดง อะลูминием และแมกนีเซียมมีค่าใกล้เคียงกัน ส่วนบริเวณตำแหน่งที่ 3 มีปริมาณเงินร้อยละ 24.38 โดยน้ำหนัก มีปริมาณทองแดงสูงถึงร้อยละ 63.63 โดยน้ำหนัก และมีปริมาณอะลูминиемร้อยละ 11.99 โดยน้ำหนัก จากการสังเกตพบว่า บริเวณเฟสนีตาจะมีปริมาณของอะลูминиемผสมอยู่สูงกว่าในโครงสร้างพื้นมาก จากข้อมูลของเฟสไครต์แกรมระหว่างอะลูминиемกับทองแดง และอะลูминиемกับเงิน พบว่า อะลูминиемสามารถละลายในทองแดงได้นากกว่าในเงิน [16] ดังนั้นเงินสเตอร์ลิงส่วนผสม B จึงมีเฟสนีตาามากขึ้น สำหรับผลการวิเคราะห์ธาตุดีนูก อินเดียม ซิลิคอน และไทเทเนียม ไม่สามารถตรวจสอบได้ในทุกบริเวณที่ทำการวิเคราะห์ ความแข็งของเงินสเตอร์ลิงส่วนผสม B มีค่าเฉลี่ย 79.5 วิกเกอร์

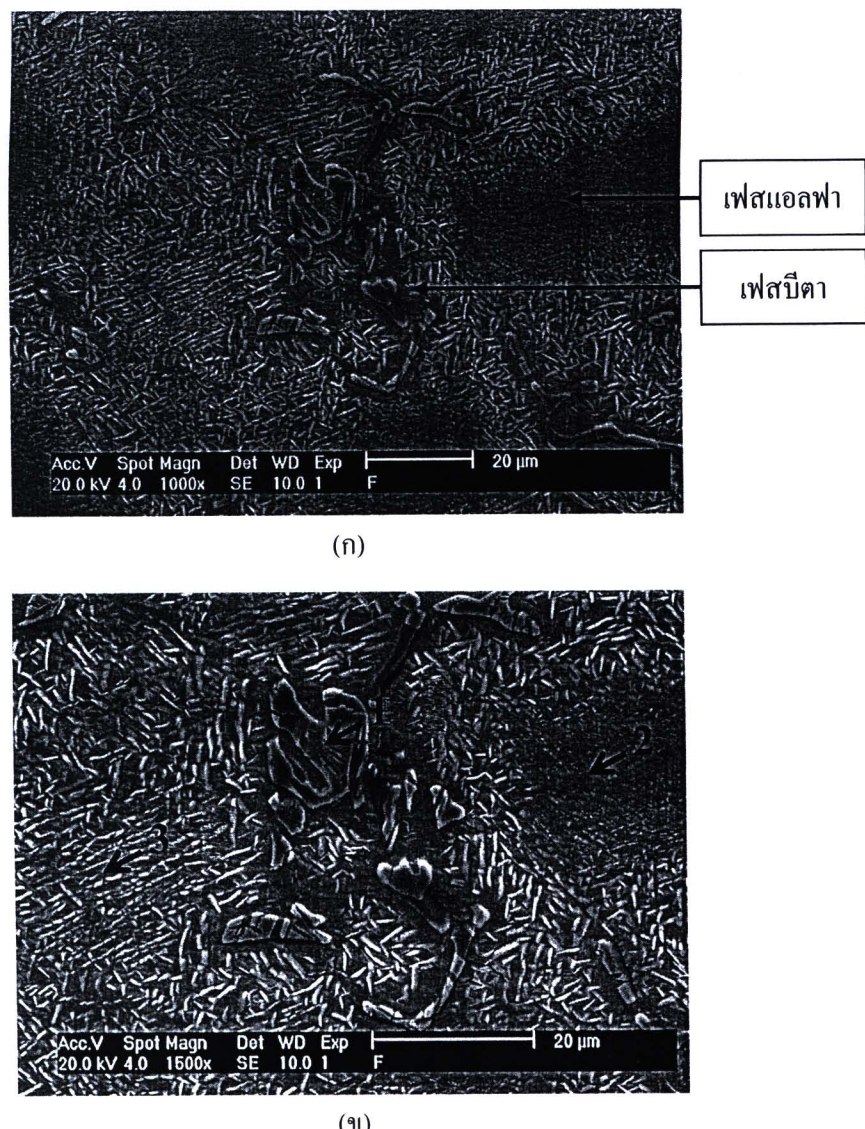


(ก)



(ข)

รูปที่ 4.28 ภาพถ่ายด้วยกล้องจุลทรรศน์แสดงของชิ้นงานเงินสเตอร์ลิงส่วนผสม B
(ก) กำลังขยาย 10 เท่า (ข) กำลังขยาย 20 เท่า



รูปที่ 4.29 ภาพถ่ายด้วยกล้องจุลทรรศน์อิเล็กตรอนแบบส่องรากของชิ้นงานเงินสเตอร์ลิง ส่วนผสม B (ก) กำลังขยาย 1,000 เท่า (ข) กำลังขยาย 1,500 เท่า

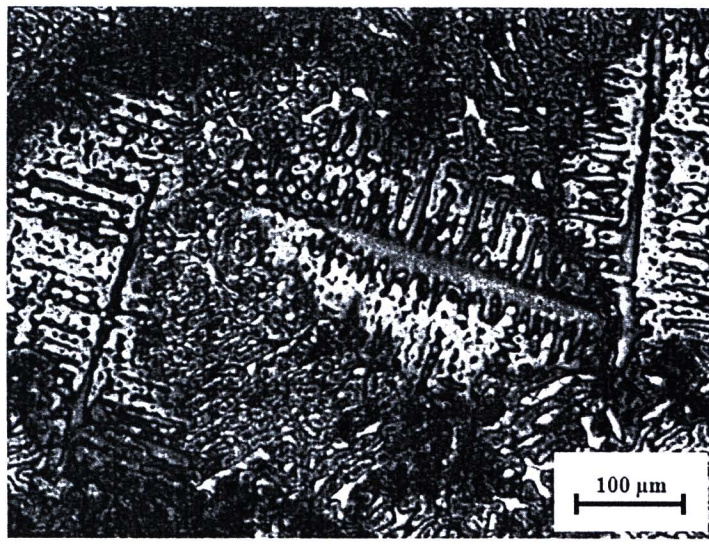
ตารางที่ 4.13 ผลการวิเคราะห์ส่วนผสมทางเคมีของชิ้นงานเงินสเตอร์ลิงส่วนผสม B ด้วยเทคนิค EDS

บริเวณที่วิเคราะห์	ปริมาณธาตุ (ร้อยละ โดยน้ำหนัก)							
	Ag	Cu	Sn	In	Al	Mg	Si	Ti
ตำแหน่งที่ 1	24.38	63.63	N/A	N/A	11.99	N/A	N/A	N/A
ตำแหน่งที่ 2	94.94	3.29	N/A	N/A	0.76	1.01	N/A	N/A
ตำแหน่งที่ 3	93.09	3.84	N/A	N/A	1.29	1.78	N/A	N/A

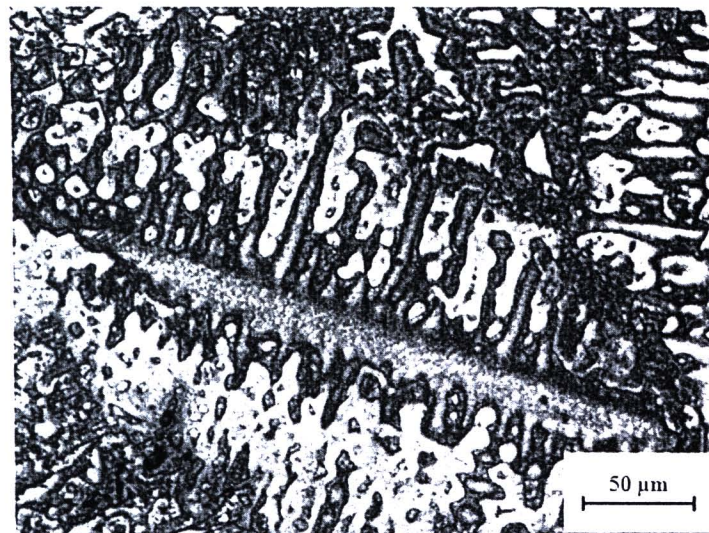
หมายเหตุ N/A หมายถึง ตรวจสอบไม่ได้

โครงสร้างจุลภาคของชิ้นงานเงินสเตอร์ลิงส่วนผสม E ที่มีส่วนผสม Ag-5.65Cu-0.40Sn-0.20In-0.75(Cu-29.70Zn-0.42Ti) จากภาพถ่ายด้วยกล้องจุลทรรศน์แสง ใช้เลนส์วัตถุกำลังขยาย 10 และ 20 เท่า แสดงในรูปที่ 4.30 (ก)-(ข) และจากภาพถ่ายด้วยกล้องจุลทรรศน์อิเล็กตรอนแบบส่องกราดด้วย กำลังขยาย 1,000 และ 1,500 เท่า แสดงในรูปที่ 4.31 (ก)-(ข) ตามลำดับ พบว่า โครงสร้างเป็นลักษณะเด่นไดรต์ บริเวณโครงสร้างพื้นเป็นเฟสแอลฟ้าที่มีเงินเป็นส่วนผสมหลัก และมีเฟสบีตาอยู่ระหว่างช่องว่างระหว่างเด่นไดรต์

จากผลการวิเคราะห์ส่วนผสมทางเคมีด้วยเทคนิค EDS แสดงตำแหน่งที่วิเคราะห์ในรูปที่ 4.31 (ข) ตำแหน่งที่ 1 และ 2 เป็นโครงสร้างพื้น และตำแหน่งที่ 3 บริเวณที่เป็นเฟสบีตา ผลการวิเคราะห์แสดงในตารางที่ 4.14 หน่วยเป็นร้อยละ โดยน้ำหนัก พบว่า ตำแหน่งที่ 1 มีปริมาณของเงินร้อยละ 93.58 และมีทองแดงร้อยละ 6.42 บริเวณตำแหน่งที่ 2 มีปริมาณเงินร้อยละ 95.30 มีทองแดงร้อยละ 4.70 และตำแหน่งที่ 3 มีปริมาณเงินร้อยละ 87.81 และมีปริมาณทองแดงร้อยละ 12.19 เฟสบีตานี้มีปริมาณทองแดงที่ต่ำกว่าปริมาณของเงิน เนื่องจากเฟสบีตานี้มีขนาดเล็ก ผลการวิเคราะห์จึงมีบริเวณของโครงสร้างพื้นรวมอยู่ด้วย สำหรับผลการวิเคราะห์ชาตីបុក อินเดียม สังกะสี และไทเทเนียม ไม่สามารถตรวจสอบได้ใน 3 บริเวณ ความแข็งจุลภาคของเงินสเตอร์ลิงส่วนผสม E มีค่าเฉลี่ย 75.7 วิกเกอร์

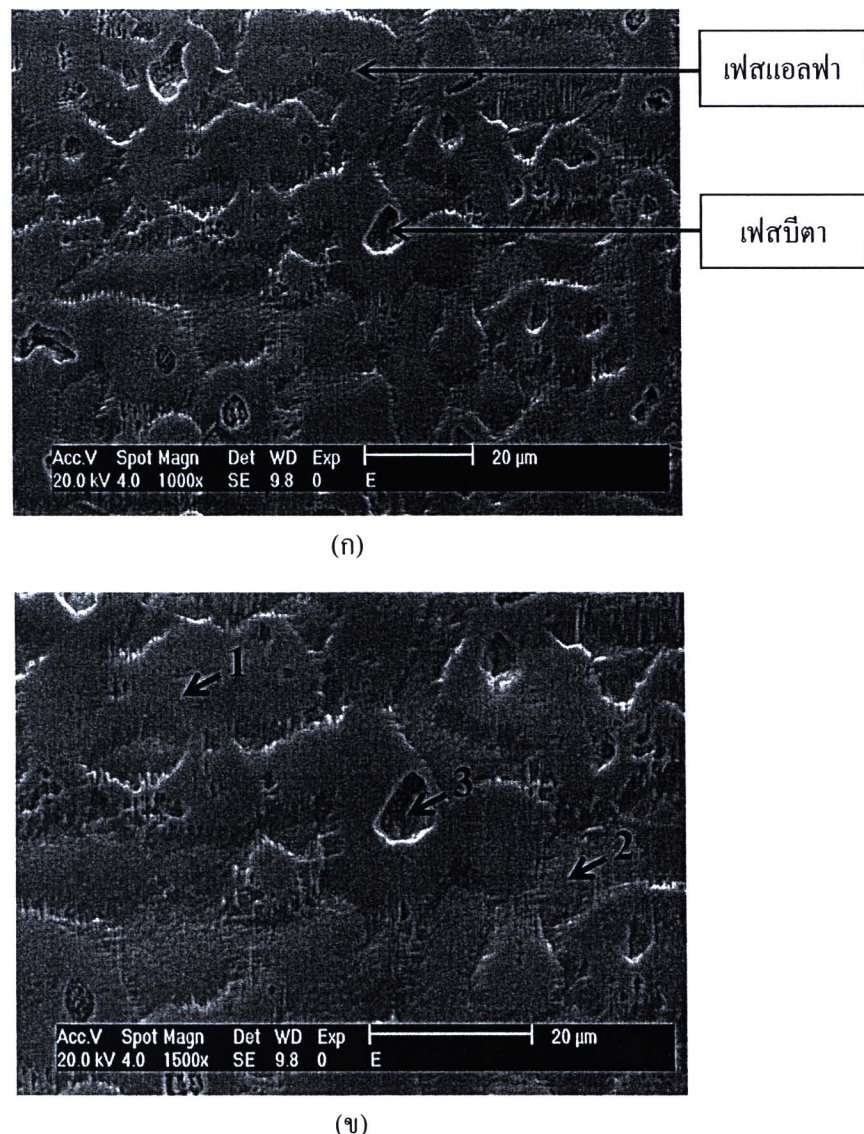


(n)



(u)

รูปที่ 4.30 ภาพถ่ายด้วยกล้องจุลทรรศน์แสงของชิ้นงานเงินสเตอร์ลิงส่วนผสม E
(ก) กำลังขยาย 10 เท่า (ข) กำลังขยาย 20 เท่า



รูปที่ 4.31 ภาพถ่ายด้วยกล้องจุลทรรศน์อิเล็กตรอนแบบส่องกราดของชิ้นงานเงินสเตอร์ลิง ส่วนผสม E (ก) กำลังขยาย 1,000 เท่า (ข) กำลังขยาย 1,500 เท่า

ตารางที่ 4.14 ผลการวิเคราะห์ส่วนผสมทางเคมีของชิ้นงานเงินสเตอร์ลิงส่วนผสม E ด้วยเทคนิค EDS

บริเวณที่วิเคราะห์	ปริมาณธาตุ (ร้อยละ โดยน้ำหนัก)					
	Ag	Cu	Sn	In	Zn	Ti
ตำแหน่งที่ 1	93.58	6.42	N/A	N/A	N/A	N/A
ตำแหน่งที่ 2	95.30	4.70	N/A	N/A	N/A	N/A
ตำแหน่งที่ 3	87.81	12.19	N/A	N/A	N/A	N/A

หมายเหตุ N/A หมายถึง ตรวจสอบไม่ได้

4.2.5 ผลการทดสอบสมบัติทางกล

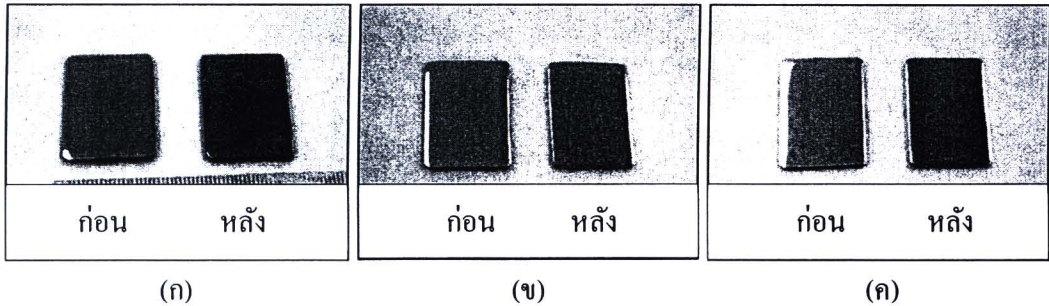
ผลการทดสอบสมบัติทางกล แสดงดังตารางที่ 4.15 พบว่า เจ็นสเตอร์ลิงส่วนผสม A ซึ่งเป็นส่วนผสมที่ใช้เปรียบเทียบก่อนเติมอัลลอยอื่นเข้าไป มีค่าความแข็งเฉลี่ย 64.7 วิกเกอร์ ซึ่งมีความแข็งต่ำสุด เมื่อเทียบกับเจ็นสเตอร์ลิงส่วนผสม B และ E มีค่าความแข็งสูงขึ้นเฉลี่ย 79.5 และ 75.7 วิกเกอร์ ตามลำดับ ซึ่งสอดคล้องกับลักษณะโครงสร้างจุลภาคของแต่ละส่วนผสมที่มีความแตกต่างกันของปริมาณเฟสปิคตา สำหรับความด้านแรงดึงน้ำสามารถอธิบายได้เช่นเดียวกับค่าความแข็ง เมื่อเปรียบเทียบระหว่างเจ็นสเตอร์ลิงส่วนผสม A กับเจ็นสเตอร์ลิงส่วนผสม B และ E พบว่าค่าความด้านแรงดึงสูงสุดของส่วนผสมที่ไม่มีการเติมอัลลอยมีค่าน้อยที่สุด เป็น 181.6 เมกกะพาสคัล เจ็นสเตอร์ลิงส่วนผสม B มีค่าความด้านแรงดึงสูงสุดเฉลี่ยเป็น 212.2 เมกกะพาสคัล ร้อยละการยึดตัวของเจ็นสเตอร์ลิงที่มีค่าสูงสุดคือส่วนผสมที่เติมอัลลอย E มีค่าร้อยละการยึดตัวเฉลี่ยเป็น 28.3 เนื่องจากในส่วนผสมมีการเติมสังกะสีเข้าไป ซึ่งมีส่วนช่วยเพิ่มการยึดตัว [10]

ตารางที่ 4.15 ผลการทดสอบความแข็ง ความด้านแรงดึงสูงสุด และร้อยละการยึดตัว

ส่วนผสม	ความแข็ง (วิกเกอร์)	ความด้านแรงดึงสูงสุด (เมกกะพาสคัล)	การยึดตัว (ร้อยละ)
A	64.7	181.6	15.9
B	79.5	212.2	19.9
E	75.7	188.3	28.3

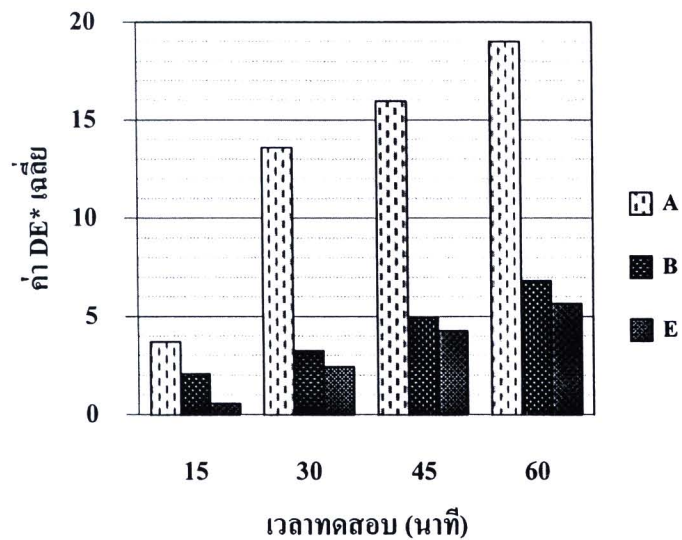
4.2.6 ผลการทดสอบการเปลี่ยนแปลงสีของเจ็นสเตอร์ลิง

ลักษณะโดยทั่วไปของชิ้นงานจากการทดสอบการเปลี่ยนแปลงสีของเจ็นสเตอร์ลิงส่วนผสม A, B และ E ที่ทดสอบในบรรยายกาศของสารละลายอิมตัวไซเดียมชัลไฟฟ์ เป็นเวลา 60 นาที แสดงในรูปที่ 4.32 (ก)-(ค) ตามลำดับ พบว่า ชิ้นงานเจ็นสเตอร์ลิงส่วนผสม A หลังการทดสอบมีสีเหลืองเข้ม และมีจุดสีน้ำตาลเข้มกระจายอยู่ทั่วชิ้นงานเหมือนกับส่วนผสม B แต่ชิ้นงานเจ็นสเตอร์ลิงส่วนผสม B หลังจากทดสอบมีสีเหลืองอ่อน และชิ้นงานเจ็นสเตอร์ลิงส่วนผสม E หลังการทดสอบ พบว่า ชิ้นงานเปลี่ยนสีเหลืองຈางๆ ซึ่งเมื่อเปรียบเทียบกับส่วนผสม A และ B ที่มีสีเหลืองที่ผิวเข้มกว่า แสดงว่า อัลลอยที่เติมเข้าไปสามารถช่วยลดการเปลี่ยนแปลงสีของเจ็นสเตอร์ลิงได้



รูปที่ 4.32 ลักษณะชิ้นงานทดสอบ (ก) เงินสเตอร์ลิงส่วนผสม A (ข) เงินสเตอร์ลิงส่วนผสม B และ(ค) เงินสเตอร์ลิงส่วนผสม E

ค่าการเปลี่ยนแปลงสีของเงินสเตอร์ลิงส่วนผสม A, B และ E แสดงในรูปที่ 4.33 ผลการทดสอบที่เวลา 15 นาที พบว่าค่า DE* มีการเปลี่ยนแปลงเพียงเล็กน้อย เมื่อเพิ่มเวลาในการทดสอบเป็น 30 และ 45 นาที ทำให้เห็นการเปลี่ยนแปลงค่า DE* ชัดเจนขึ้น และเมื่อเวลาในการทดสอบเป็น 60 นาที พบว่า เงินสเตอร์ลิงส่วนผสม A มีค่า DE* เท่ากับ 19.02 เงินสเตอร์ลิงส่วนผสม B มีค่า DE* เป็น 6.84 และ เงินสเตอร์ลิงส่วนผสม E มีค่า DE* เท่ากับ 5.66 แสดงให้เห็นว่า อัลลอยที่เติมลงไปสามารถเพิ่มความ ต้านทานการ蝕กร่องของโลหะเงินสเตอร์ลิง ได้



รูปที่ 4.33 ค่าการเปลี่ยนแปลงของสีของชิ้นงานเงินสเตอร์ลิงส่วนผสม A, B และ E โดยใช้เวลา ทดสอบ 15, 30, 45 และ 60 นาที

จากการเปรียบเทียบค่า DE* ที่เวลาทดสอบ 60 นาที ในบรรยายสารละลายน้ำตัวโซเดียมชัลไฟฟ์ ของเงินสเตอร์ลิงส่วนผสม A, B และ E ผลิตที่ นจธ. มีค่าเท่ากับ 25.27, 14.89 และ 12.73 ตามลำดับ ส่วนที่ผลิตจากโรงงาน มีค่า DE* เป็น 19.02, 6.84 และ 5.66 ตามลำดับ พบว่าการทดลองที่โรงงานทำให้ค่า DE* มีค่าลดลง เนื่องจากสภาวะการหลอมและหล่อที่โรงงานทำในระบบสุญญากาศ ทำให้ก้าช จำกภายนอกไม่สามารถสัมผัสน้ำโลหะ ทำให้ชิ้นงานไม่เกิดเป็นตาด หรือรูพรุน ซึ่งเป็นจุดเร้นด้านของการหมอยง

เมื่อพิจารณาส่วนผสมของเงินสเตอร์ลิงที่เติมอัลลอย B และ E ซึ่งมีการผสมธาตุที่เป็นส่วนผสมช่วยเพิ่มความต้านทานการหมอยงที่ดี ได้แก่ ดีบุก อินเดียม ชิลิคอน ไทเทเนียม และสังกะสี ให้ผลการทดลองสอดคล้องกับข้อมูลของสิทธิบัตรหมายเลข 7,198,683 B2 [51] ว่าส่วนผสมทางเคมีที่เหมาะสมของเงินสเตอร์ลิงเพื่อเพิ่มความต้านทานการหมอยงประกอบด้วย ธาตุทองแดงร้อยละ 4.4-5.25 โคบัน้ำหนัก สังกะสีไม่เกินร้อยละ 1 โคบัน้ำหนัก ดีบุกไม่เกินร้อยละ 0.85 โคบัน้ำหนัก ลิเทียมร้อยละ 0.05-0.3 โคบัน้ำหนัก ชิลิคอนร้อยละ 0.05-0.5 โคบัน้ำหนัก เจร์เมเนียมไม่เกินร้อยละ 1.2 โคบัน้ำหนัก และ โบรอนไม่เกินร้อยละ 0.02 โคบัน้ำหนัก และสิทธิบัตรหมายเลข 4,775,511 [29] พบว่าในการเติมโครเมียม แทนทาลัม ไทเทเนียม และทองเรียม ไม่เกินร้อยละ 1.5 โคบัน้ำหนัก ในเงินสเตอร์ลิงที่มีส่วนผสม Ag-Cu, Ag-Au และ Ag-Cu-Au ทำให้เกิดเป็นชั้นฟิล์มบางๆ ที่ผิว และไม่ทำให้เสียสมบัติค้านอื่น

4.3 วิเคราะห์ผลการทดลอง

การหล่อในบรรยายกาศปกติของเงินสเตอร์ลิงส่วนผสม A, B และ E ทำให้น้ำโลหะสัมผัสกับอากาศ โดยรอบ เป็นสาเหตุให้ราดูที่เดินทางชนิดเกิดปฏิกิริยากับก้าชเกิดเป็นออกไซด์ปกคุณที่ผิวของน้ำโลหะ ทำให้เกิดการสูญเสียปริมาณราดูที่จะช่วยปรับปรุงสมบัติต่างๆ ของเงินสเตอร์ลิง ลักษณะพิเศษของอินกอตไม่ส่วน ก็จะเป็นครานสีเหลืองปนดำ และเกิดเป็นรูพรุนที่ผิวของอินกอตเนื่องจากก้าชสามารถละลายในน้ำโลหะหลอมเหลวได้มาก เมื่อน้ำโลหะแข็งตัวก้าชไม่สามารถถอดออกมานาน้ำโลหะได้ ทำให้เกิดเป็นรูอยู่ภายใน

สำหรับการหลอมและหล่อในระบบสุญญากาศของเงินสเตอร์ลิงส่วนผสม A, B และ E เป็นการหลอมและหล่อในระบบปิด น้ำโลหะไม่สามารถสัมผัสกับอากาศได้ ทำให้ราดูที่เดินลงไปเพื่อปรับปรุงสมบัติต่างๆ ของเงินสเตอร์ลิงไม่เกิดปฏิกิริยากับก้าชที่มีอยู่ในบรรยายกาศปกติได้ ดังนั้นภัยหลังจากการหล่อ พบร่วงตัวกรันนีปริมาณน้อยลง น้ำหนักของเงินสเตอร์ลิงลดลงเล็กน้อย ลักษณะพิเศษของชิ้นงานทั้ง 3 ส่วนผสม มีผิวเรียบสีขาว

โครงสร้างจุลภาคของเงินสเตอร์ลิงส่วนผสม A, B และ E ที่ได้จากการหล่อในบรรยายกาศปกติมีลักษณะเด่น โครงสร้างที่เล็กและเขียวกว่าโครงสร้างที่ได้จากการหล่อในระบบสุญญากาศ เนื่องจากการหล่อในบรรยายกาศปกติ ทำการเทหล่อลงในแม่พิมพ์โลหะซึ่งมีการถ่ายเทความร้อนได้ดีกว่าการเทหล่อในแม่พิมพ์ปูนในระบบสุญญากาศ ตามหลักการ โดยทั่วไปของการหล่อ ลักษณะโครงสร้างจุลภาคมีผลมาจากอัตราการเย็นตัว ถ้าการเย็นตัวเร็วจะทำให้ได้โครงสร้างที่มีขนาดเล็กกว่าการเย็นตัวช้า ดังนั้นขนาดของโครงสร้างที่มีขนาดเล็กกว่าจะได้โครงสร้างที่มีขนาดเล็กกว่าการเย็นตัวช้า โครงสร้างที่มีขนาดใหญ่กว่าโครงสร้างขนาดใหญ่ เนื่องจากลักษณะโครงสร้างที่เล็กและเขียวมีข้อบกพร่องมากกว่าทำให้สามารถขัดขวางการเคลื่อนที่ของดิสโลเกชันได้ดีกว่าโครงสร้างขนาดใหญ่

การหล่อชิ้นงานในบรรยายกาศปกติ มีผลทำให้ความต้านทานการหมุนของเงินสเตอร์ลิงส่วนผสม A, B และ E มีค่าน้อยกว่า (มีค่า DE* สูงกว่า) การหล่อชิ้นงานในระบบสุญญากาศ เนื่องจากการหล่อในบรรยายกาศปกติ ทำให้ก้าชโดยรอบสามารถสัมผัสน้ำโลหะ ทำให้ชิ้นงานเกิดเป็นตามด หรือรูพรุน ซึ่งเป็นจุดเริ่มต้นของการหมุน และราดูที่เดินเพื่อช่วยปรับปรุงสมบัติต้านความต้านทานการหมุน สามารถเกิดปฏิกิริยากับออกซิเจนในอากาศได้ ทำให้เกิดการสูญเสียของราดูดังกล่าวไป ดังนั้นในการผลิตชิ้นงานเงินสเตอร์ลิงควรเลือกใช้กระบวนการหล่อในระบบสุญญากาศ